

8
Chapter

فصل ۸:

مقاومت برشی خاک

جزوه درس مکانیک خاک (کارشناسی مهندسی عمران)

استاد: عبدالمتین ستایش

@ME2CH

WWW.ME2CH.ROZBLOG.COM

فهرست مطالب فصل هشتم:

مقدمه	۱-۸
معیار گسیختگی مور - کولمب	۲-۸
زاویه گسیختگی در خاک	۳-۸
تعیین پارامترهای مقاومت برشی در آزمایشگاه	۴-۸
آزمایش برش سه محوری	۵-۸
آزمایش فشاری محدود نشده برای رس اشباع	۶-۸
نکات عمومی در مورد آزمایش سه محوری	۷-۸
منابع و مراجع	-



| ۱-۸ | مقدمه

مقاومت برشی توده خاک، مقاومت داخلی واحد سطح آن خاک است که می‌تواند برای مقابله با گسیختگی یا لغزش در امتداد هر صفحه داخلی بروز دهد. برای تحلیل مسائل پایداری خاک نظیر ظرفیت باربری، پایداری شیروانی‌ها و فشار جانبی بر روی سازه‌های حاصل خاک، لازم است طبیعت مقاومت برشی بخوبی شناخته شود.

| ۲-۸ | معیار گسیختگی مور - کولمب

مور (۱۹۰۰) نظریه‌ای برای گسیختگی مصالح ارائه داد که در آن گسیختگی نه به علت تنفس قائم حداکثر و نه تنفس برشی حداکثر، بلکه به علت ترکیبی بحرانی از آنها پیش‌بینی می‌شود. طبق نظریه مور، رابطه بین مقاومت برشی و تنفس قائم در صفحه گسیختگی به صورت زیر نوشته می‌شود (شکل ۱-۸-الف)

$$\tau_j = f(\sigma) \quad (1-8)$$

پوش گسیختگی تعریف شده توسط رابطه ۱-۸، یک خط منحنی است که در شکل ۱-۸-ب نشان داده شده است. برای اغلب مسائل مکانیک خاک با دقت کافی می‌توان مقاومت برشی در روی صفحه گسیختگی را یک تابع خطی از تنفس قائم در نظر گرفت (کولمب ۱۷۷۶). این رابطه به صورت زیر بیان می‌شود:

$$\tau_j = c + \sigma \tan \phi \quad (2-8)$$

که در آن:

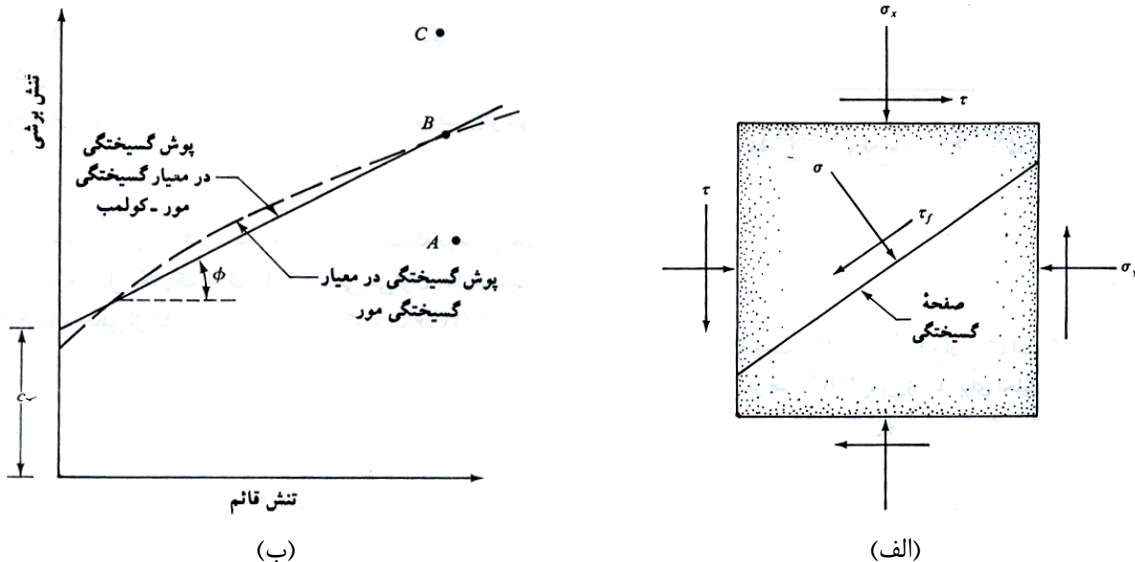
c = چسبندگی

τ_j = مقاومت برشی

ϕ = زاویه اصطکاک داخلی

σ = تنفس قائم

رابطه ۲-۸، معیار گسیختگی یا شکست مور-کولمب نامیده می‌شود.



شکل ۱-۸ معیار گسیختگی مور و معیار گسیختگی مور-کولمب


سوال:

اگر تنش های برشی و قائم در روی یک صفحه از توده خاک توسط نقاط A، B و C در روی شکل ۱-۸ نشان داده شوند، وضعیت گسیختگی خاک در امتداد آن صفحه در هر یک از این حالات چگونه خواهد بود؟


پاسخ:

اگر تنش قائم و تنش برشی در روی یک صفحه از توده خاک توسط نقطه A بیان شود، در امتداد آن صفحه گسیختگی رخ نمی دهد. اگر تنش قائم و تنش برشی در روی صفحه ای با نقطه B (واقع در روی پوش گسختگی) نشان داده شود، گسیختگی برشی در امتداد آن صفحه رخ می دهد. حالت تنش C نمی تواند وجود خارجی داشته باشد چون قبل از وقوع چنین حالت تنشی، خاک گسیخته شده است.


نکته:

در خاک های اشباع به جای استفاده از تنش کل (۵) در رابطه مقاومت برشی از تنش موثر (۶) استفاده می شود زیرا آب مقاومت برشی نداشته و تنها تنشی مورد نظر است که توسط دانه های جامد خاک حمل می شود. رابطه مقاومت برشی در خاک های اشباع به صورت زیر نوشته می شود:

$$\tau_f = c + \sigma' \tan \phi \quad (3-8)$$

که در این رابطه ϕ و c به ترتیب زاویه اصطکاک داخلی و چسبندگی برای حالت اشباع خاک می باشند و برای تمایز با حالت خشک، آن را با ϕ' و c' یا ϕ_d و c_d و یا $\bar{\phi}$ و \bar{c} نمایش می دهند و زاویه اصطکاک داخلی زهکشی شده و چسبندگی زهکشی شده می نامند.


نکته:

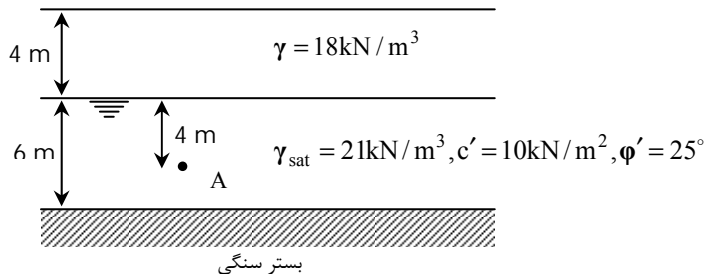
c زهکشی شده برای ماسه، لای غیرآلی و رس عادی تحکیم یافته برابر صفر و برای رس پیش تحکیم یافته بزرگتر از صفر است.


نکته:

ϕ زهکشی شده برای خاک های رسی معمولاً با افزایش نشانه خمیری کاهش می یابد.


تمرین:

با توجه به شکل زیر مطلوب است تعیین مقاومت برشی خاک در صفحه افقی گذرنده از نقطه A.



$$\sigma'_A = 4 \times 18 + 4 \times (21 - 10) = 116 \text{ kN/m}^2$$

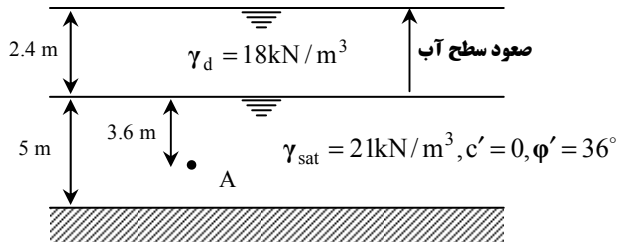
$$\tau_f = c' + \sigma' \tan \phi' \rightarrow \tau_f = 10 + 116 \times \tan 25^\circ = 64 \text{ kN/m}^2$$



بالا آمدن سطح آب در یک لایه خاک باعث کاهش مقاومت برشی خاک می شود زیرا در این حالت از میزان تنش موثر کاسته خواهد شد.



مقاومت برشی خاک در صفحه افقی گذرنده از نقطه A را قبل و بعد از بالا آمدن سطح آب تعیین کنید.



$$\text{قبل از صعود آب} \quad \sigma'_A = 2.4 \times 18 + 3.6 \times (21 - 10) = 82.80 \text{ kN/m}^2$$

$$\text{قبل از صعود آب} \quad \tau_f = c' + \sigma' \tan \phi' \rightarrow \tau_f = 0 + 82.80 \times \tan 36^\circ = 60.15 \text{ kN/m}^2$$

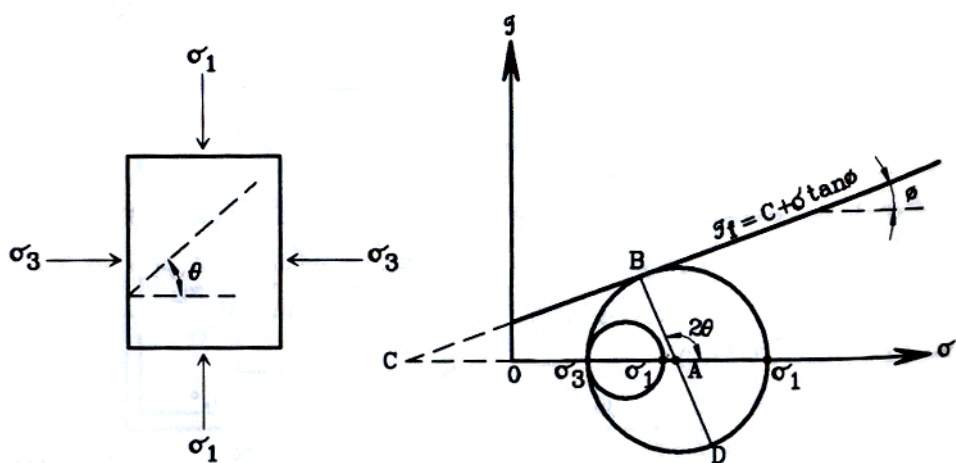
$$\text{بعد از صعود آب} \quad \sigma'_A = 6 \times (21 - 10) = 66 \text{ kN/m}^2$$

$$\text{بعد از صعود آب} \quad \tau_f = c' + \sigma' \tan \phi' \rightarrow \tau_f = 0 + 66 \times \tan 36^\circ = 47.95 \text{ kN/m}^2$$

ملاحظه می شود که مقاومت برشی در حالتی که سطح آب بالا آمده کمتر از حالت قبلی است.

۳-۸ | زاویه گسیختگی در خاک |

مطابق شکل ۲-۸ یک توده خاک در طبیعت تنها تحت تاثیر تنش های اصلی (تنش اصلی حداکثر σ_1 و تنش اصلی حداقل σ_3) قرار می گیرد و تنش برشی به آن وارد نمی شود. در این بحث قصد داریم تا حداقل تنش اصلی حداکثری را که باعث گسیختگی در توده خاک می شود، بدست آوریم و نیز زاویه صفحه گسیختگی را با راستای افق تعیین کنیم.



شکل ۲-۸

شکل ۳-۸

ابتدا فرض می کنیم که فقط فشار همه جانبی و ثابت $\sigma_3 = \sigma$ از اطراف بر توده خاک وارد می شود و هیچگونه اعمال بار قائم بر آن وجود ندارد. سپس با ثابت بودن σ_3 بوسیله بارگذاری قائم، مقدار σ_1 را افزایش می دهیم که این عمل منجر به بزرگتر شدن دایره مور می گردد ولی مادامیکه دایره مور خط $c + \sigma_f \tan \phi = \tau_f$ را تلاقي نکند، هیچگونه گسیختگی در خاک رخ نخواهد داد. با افزایش بیشتر بار قائم، σ_1 نیز افزایش می یابد تا جائیکه دایره مور بر خط مذکور مماس خواهد شد و در این لحظه است که گسیختگی در توده خاک بوجود می آید (شکل ۳-۸) و خاک در صفحه ای که با افق زاویه θ می سازد (در روی دایره مور این صفحه با صفحه تنش های اصلی زاویه 2θ می سازد) گسسته می شود. σ_1 که به ازای آن دایره مور بر خط $c + \sigma_f \tan \phi$ مماس شده است، کمترین تنش اصلی حداکثری است که باعث گسیختگی در راستای θ در توده خاک شده است.

بدیهی است مقادیر بزرگتر از σ_1 حداقل نیز باعث گسیختگی در توده خاک خواهد شد ولی عملاً چنین اتفاقی نمی افتد چون با وارد شدن σ_1 حداقل، گسیختگی زودتر از انجام خواهد شد.

برای تعیین زاویه صفحه گسیختگی با راستای افق θ از شکل ۳-۸ کمک می گیریم. همانطور که در شکل مشاهده می شود، 2θ زاویه خارجی برای مثلی ABC است. پس داریم:

$$2\theta = 90^\circ + \phi \rightarrow \theta = 45^\circ + \frac{\phi}{2} \quad (4-8)$$

برای تعیین σ_1 نیز به طریق زیر عمل می کنیم:

ابتدا به کمک شکل ۳-۸ و دایره مور، مقادیر σ و τ_f را بدست می آوریم:

$$\begin{cases} \sigma = \frac{\sigma_1 + \sigma_3}{2} + \frac{\sigma_1 - \sigma_3}{2} \cos 2\theta \\ \tau_f = \frac{\sigma_1 - \sigma_3}{2} \sin 2\theta \end{cases}$$

سپس مقادیر فوق را در رابطه $\tau_f = c + \sigma \tan \phi$ جایگزین می کنیم و با کمک گیری از روابط مثلثاتی خواهیم داشت:
 $\sigma_1 = \sigma_3 \tan^2 \theta + 2c \tan \theta$

و یا

$$\sigma_1 = \sigma_3 \tan^2 (45 + \frac{\phi}{2}) + 2c \tan (45 + \frac{\phi}{2}) \quad (5-8)$$

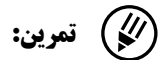
تمرین:

یک نمونه خاک ماسه ای خشک در آزمایشگاه تحت فشار همه جانبی ای برابر ۱۰۰kpa قرار می گیرد و افزایش تنش عمودی به میزان ۲۰۰kpa باعث گسیختگی آن می شود. مطلوب است تعیین زاویه صفحه گسیختگی با امتداد افق و پارامترهای مقاومت برشی نمونه مورد نظر.

از آنجایی که خاک ماسه ای است $c = 0$

$$\sigma_1 = \sigma_3 \tan^2 \theta \rightarrow 300 = 100 \tan^2 \theta \rightarrow \tan \theta = \sqrt{3} \rightarrow \theta = 60^\circ$$

$$\theta = 45 + \frac{\phi}{2} \rightarrow 60 = 45 + \frac{\phi}{2} \rightarrow \phi = 30^\circ$$



در تمرین قبلی مقدار تنش قائم و تنش برشی در صفحه گسیختگی چقدر است؟

$$\sigma = \frac{\sigma_1 + \sigma_3}{2} + \frac{\sigma_1 - \sigma_3}{2} \cos 2\theta = \frac{300+100}{2} + \frac{300-100}{2} \cos 120^\circ = 150 \text{kPa}$$

$$\tau_f = \frac{\sigma_1 - \sigma_3}{2} \sin 2\theta = \frac{300-100}{2} \sin 120^\circ = 86.6 \text{kPa}$$

در جدول ۱-۸ مقادیر زاویه اصطکاک داخلی زهکشی شده برای بعضی از خاکهای دانه‌ای ارائه شده است.

جدول ۱-۸ مقادیر نمونه زاویه اصطکاک داخلی زهکشی شده برای ماسه و لای

زاویه اصطکاک داخلی ϕ (درجه)	نوع خاک
ماسه (دانه‌های گرد)	
۲۷ - ۳۰	شل
۳۰ - ۳۵	متوسط
۳۸ - ۴۵	متراکم
ماسه (دانه‌های تیزگوش)	
۳۵ - ۴۰	شل
۴۰ - ۴۵	متوسط
۴۵ - ۴۰	متراکم
شن به همراه ماسه	
۳۴ - ۴۸	شن
۲۶ - ۳۵	لای

۴-۸ تعیین پارامترهای مقاومت برشی در آزمایشگاه

در آزمایشگاه، پارامترهای مقاومت برشی خاک با دو روش آزمایشی تعیین می‌گردد: آزمایش برش مستقیم و آزمایش سه محوری، در ادامه آزمایشهای فوق تشریح می‌شوند.

آزمایش برش مستقیم

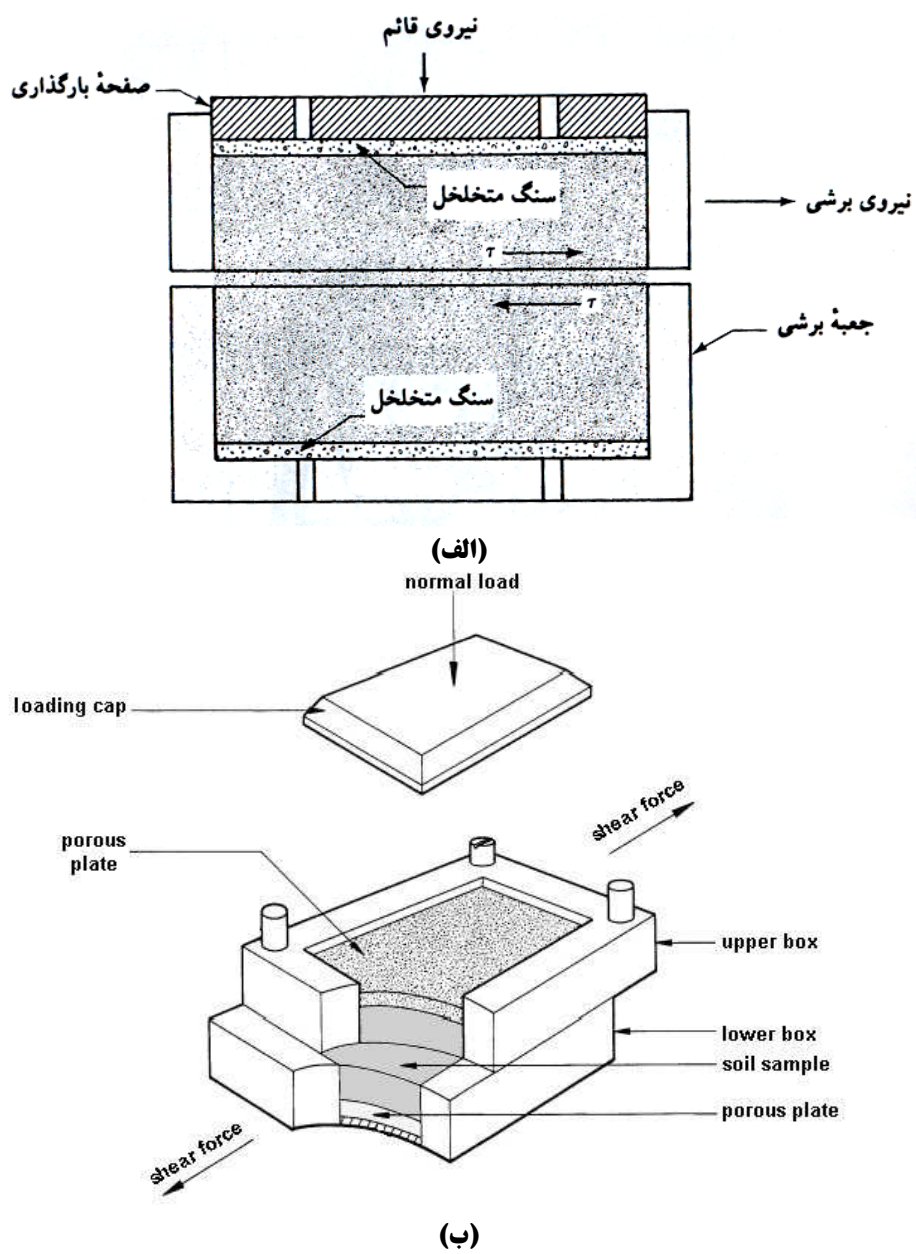
این آزمایش قدیمی ترین و ساده ترین آزمایش برشی است. در شکل ۴-۸ شکل شماتیک وسیله آزمایش نشان داده شده که تشکیل یافته است از: دو جعبه برشی فلزی که نمونه آزمایش در داخل آنها قرار می‌گیرد. شکل نمونه خاک در پلان، ممکن است مربع (شکل ۴-۸-ب) یا دایره باشد. ضخامت نمونه آزمایشی ۱ اینچ ($25/4$ میلیمتر) و مساحت آن در پلان 3×4 اینچ مربع (شکل ۴-۸-ب) یا دایره باشد. با استفاده از وزنه‌هایی از بالا نیروی قائم بر نمونه قابل اعمال است. مقدار تنش قائم وارده می‌تواند تا مقدار ۱ نیوتون بر میلیمتر مربع ($1000 \text{ کیلو نیوتون بر متر مربع}$) باشد. نیروی برشی توسط وزنه‌هایی بر نیمه فوقانی جعبه برشی تا لحظه گسیختگی نمونه اعمال می‌شود.

بر حسب تجهیزات مورد استفاده، آزمایش برشی می‌تواند با کنترل تنش و یا کنترل تغییر شکل باشد.

در آزمایش با کنترل تنش، نیروی برشی اعمالی با افزودن وزنه‌ها با گام مساوی تا لحظه گسیختگی نمونه افزایش داده می‌شود. شکست در امتداد صفحه جدایی دو نیمه فوقانی و تحتانی جعبه برشی رخ می‌دهد (شکل ۵-۸). بعد از اعمال هر

افزایش بار، توسط یک گیج عقربه ای، تغییر مکان نیمه فوقانی جعبه برشی اندازه گیری می شود. تغییر در ارتفاع نمونه (به عبارت دیگر تغییر حجم نمونه) با قرائت یک گیج که تغییر مکان قائم نیمه فوقانی را اندازه گیرد، به دست می آید.

در آزمایش با کنترل تغییر شکل، توسط یک موتور الکتریکی، یک تغییر مکان برشی با سرعت ثابت بر نیمه فوقانی اعمال می شود. مقدار تغییر مکان برشی با قرائت یک گیج عقربه ای که تغییر مکانهای افقی را اندازه گیری می کند، تعیین می گردد. نیروی برشی مقاوم نظیر هر تغییر مکان برشی توسط یک حلقه اندازه گیر افقی قابل اندازه گیری است. مشابه آزمایش با کنترل تنفس، تغییر حجم نمونه توسط یک گیج قائم اندازه گیری می شود. در شکل ۸-۶، تصویری از دستگاه برش مستقیم با کنترل تغییر شکل نشان داده شده است.



شکل ۸-۶ شکل شماتیک دستگاه آزمایش برش مستقیم

(الف) مقطع عرضی جعبه برش (ب) مقطع سه بعدی جعبه برش مستقیم با پلان مربع شکل



شکل ۵-۸ شکست نمونه پس از پایان آزمایش برش مستقیم



شکل ۶-۸ دستگاه آزمایش برش مستقیم با کنترل گرفش

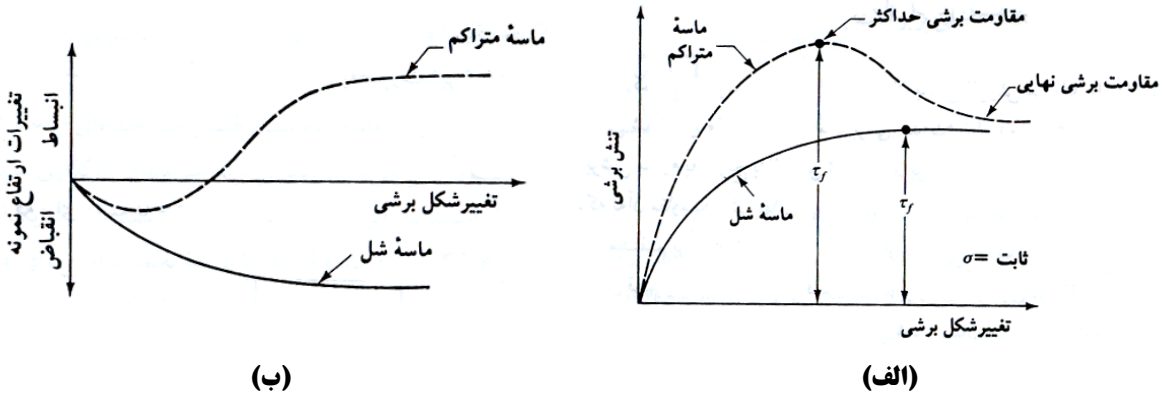
سودمندی آزمایش با کنترل تغییر شکل در این است که به وسیله آن برای ماسه های متراکم هم مقاومت برشی حداکثر (در لحظه گسیختگی) و هم مقاومت برشی کمتری که بعد از نقطه گسیختگی به وجود می آید و به مقاومت برشی نهایی موسوم است، قابل مشاهده و اندازه گیری است (شکل ۷-۸-الف). در آزمایش با کنترل تنش، تنها مقاومت برشی حداکثر قابل مشاهده و تعیین است. البته با توجه به عدم پیوستگی و پله ای بودن افزایش بارگذاری، تعیین مقاومت برشی حداکثر نیز با مقداری تقریب همراه است. با این وجود، آزمایش با کنترل تنش مدل واقع بینانه تری از وضعیت صحرایی نسبت به آزمایش با کنترل تغییر شکل به دست می دهد.

برای یک آزمایش معلوم ، تنش قائم را می توان به صورت زیر محاسبه نمود:

$$\sigma = \frac{\text{نیروی قائم}}{\text{مساحت مقطع افقی نمونه}} = \text{تنش قائم} \quad (6-8)$$

و تنش برشی مقاوم نظیر نیز از رابطه زیر قابل تعیین است :

$$\tau = \frac{\text{نیروی برشی مقاوم}}{\text{مساحت مقطع افقی نمونه}} = \text{تنش برشی مقاوم} \quad (7-8)$$



شکل ۸-۷ نمودار تنش برشی و تغییرات ارتفاع نمونه در مقابل تغییر مکان برشی برای ماسه خشک شل و متراکم در آزمایش برش مستقیم

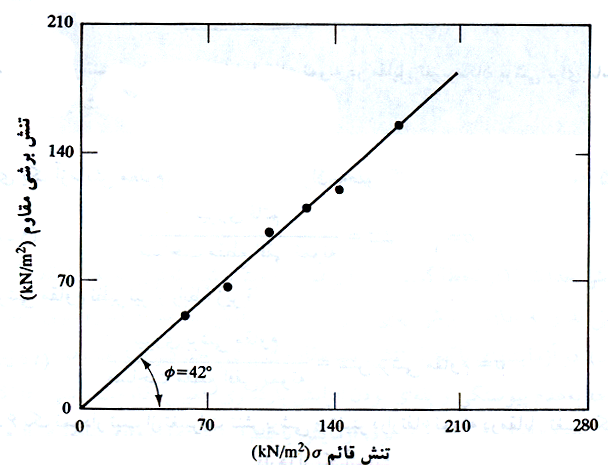
شکل ۸-۸ یک نمودار تیپ از تغییرات تنش برشی و تغییر ارتفاع نمونه در مقابل تغییر مکان برشی برای ماسه خشک متراکم و شل است. این نمودارها از یک آزمایش با کنترل تغییر شکل به دست آمده اند. با توجه به تغییرات تنش برشی مقاوم در مقابل تغییر مکان برشی، نتایج زیر قابل حصول است:

- در ماسه شل، تنש برشی مقاوم با تغییر مکان برشی افزایش می یابد تا تنش برشی گسیختگی τ_f حاصل شود. بعد از آن، مقاومت برشی برای افزایش بیشتر تغییر مکان برشی، تقریباً ثابت می ماند.
- در ماسه متراکم، تنش برشی مقاوم با تغییر مکان برشی افزایش می یابد تا تنش برشی گسیختگی τ_f حاصل شود. این مقدار τ_f ، مقاومت برشی حداکثر نامیده می شود. بعد از تنش گسیختگی، تنش برشی مقاوم به تدریج با افزایش تغییر مکان برشی، کاهش می یابد تا بالاخره به یک مقدار ثابتی برسد که به آن مقاومت برشی نهایی می گویند.

آزمایش برش مستقیم بر روی نمونه های مختلف از یک نوع خاک با تنشهای قائم مختلف تکرار می شود. تنشهای قائم و مقادیر نظری τ_f به دست آمده، بر روی نموداری در مقابل یکدیگر رسم می شوند تا پارامترهای مقاومت برشی به دست آید. شکل ۸-۸ نشان دهنده چنین نموداری برای ۶ آزمایش یا ۶ تنش قائم مختلف بر روی نمونه های به دست آمده از یک خاک ماسه ای خشک می باشد. رابطه خط متوسط مار بر نقاط تجربی مختلف به صورت زیر نوشته می شود:

$$\tau_j = \sigma \tan \phi \quad (8-8)$$

(توجه شود که برای ماسه $c = 0$ و $\sigma' = \sigma$ است) بنابراین زاویه اصطکاک داخلی برابر است با:



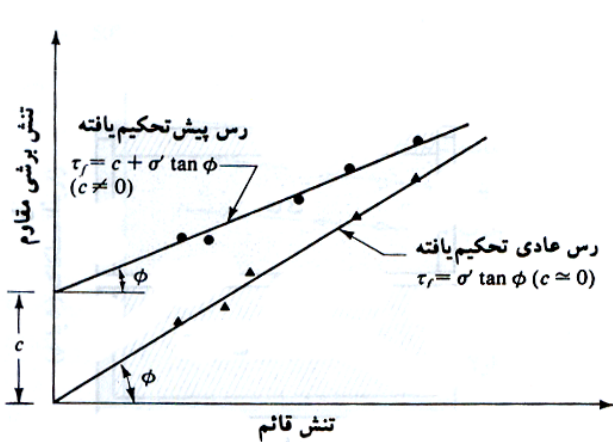
شکل ۸-۸ تعیین پارامترهای مقاومت برشی برای ماسه خشک با استفاده از نتایج آزمایش برش مستقیم

◀ آزمایش برش مستقیم زهکشی شده بر روی رس و ماسه اشباع

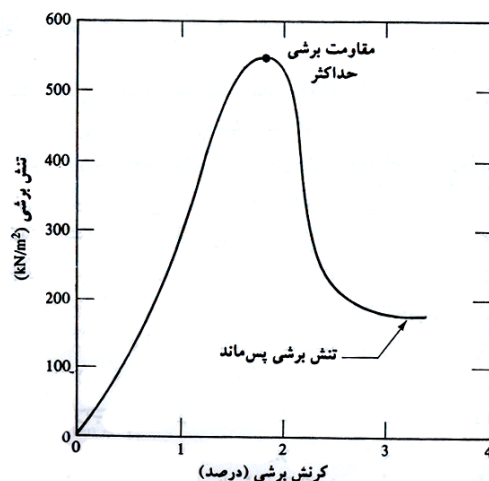
جمعه برشی که نمونه خاک در داخل آن قرار دارد، در داخل محفظه ای جای می‌گیرد که می‌تواند برای اشباع نمودن نمونه با آب پر شود. یک آزمایش زهکشی شده به آزمایشی گویند که در آن سرعت بارگذاری روی نمونه آنقدر پایین است که اجازه زهکشی و زایل شدن فشار آب حفره ای اضافی به وجود آمده در نمونه، داده می‌شود. آب حفره ای نمونه از طریق دو سنگ متخلخل واقع در بالا و پایین آن زهکشی می‌شود.

از آنجایی که ضریب نفوذ پذیری ماسه بالاست، فشار آب حفره ای ایجاد شده به وسیله بارگذاری (قائم و برشی) سریعاً زایل می‌شود. بنابراین برای سرعتهای بارگذاری معمولی، اساساً شرایط زهکشی کامل برقرار است. بنابراین زاویه اصطکاک ϕ به دست آمده از یک آزمایش برش مستقیم زهکشی شده بر روی یک نمونه ماسه اشباع، با نتیجه به دست آمده برای همان نمونه در حالت خشک یکسان است.

در مقایسه با ماسه، ضریب نفوذ پذیری رس خیلی کوچک است. وقتی که یک بار قائم بر روی یک نمونه خاک رسی وارد می‌شود، برای تحکیم کامل (یعنی زایل شدن کامل فشار آب حفره ای) زمان کافی باید در اختیار باشد. به همین علت بارگذاری برشی باید با سرعت آهسته ای اعمال گردد. آزمایش ممکن است ۲ تا ۵ روز طول بکشد. شکل ۹-۸ نتایج آزمایش برش مستقیم زهکشی شده را بر روی نمونه رس پیش تحکیم یافته نشان می‌دهد. شکل ۱۰-۸ نیز نشان دهنده نمودار مقاومت برشی c_f در مقابل σ' حاصل از یک تعداد آزمایش برش مستقیم زهکشی شده بر روی رس عادی تحکیم یافته در حالت زهکشی بر روی رس عادی تحکیم یافته و پیش تحکیم یافته می‌باشد. توجه شود که $c_f = \sigma' \tan \phi$ و برای رس عادی تحکیم یافته، در حالت زهکشی شده $c_f \approx 0$ است.



شکل ۱۰-۸ پوش گسیختگی خاک رس حاصل از آزمایش برش مستقیم زهکشی شده



شکل ۹-۸ نتایج آزمایش برش مستقیم زهکشی شده بر روی رس پیش تحکیم یافته

نکاتی در مورد آزمایش برش مستقیم

آزمایش برش مستقیم از نقطه نظر اجرایی نسبتاً ساده است، لیکن دارای چند عیب ذاتی می‌باشد و قابلیت اعتماد نتایج بدست آمده، ممکن است زیر سوال رود. این مسئله ناشی از آن است که در آزمایش برش مستقیم اجازه داده نمی‌شود که

خاک در امتداد ضعیف ترین صفحه گسیختگی اجباراً در صفحه جدایی دو نیمه فوقانی و تحتانی جعبه برش رخ می‌دهد. همچنین توزیع تنش برشی در روی سطح گسیختگی یکنواخت نیست. علیرغم این عیوب، آزمایش برش مستقیم، ساده ترین و اقتصادی ترین آزمایش برای خاکهای ماسه‌ای خشک و اشیاع است.

در مواردی از مسائل طراحی، تعیین زاویه اصطکاک بین خاک و سطح زیرین شالوده لازم می‌گردد (شکل ۱۱-۸). مصالح شالوده اغلب بتن است، لیکن در مواردی می‌تواند فولاد و یا چوب نیز باشد. مقاومت برشی در امتداد فصل مشترک شالوده و خاک می‌تواند طبق رابطه زیر تعریف شود:

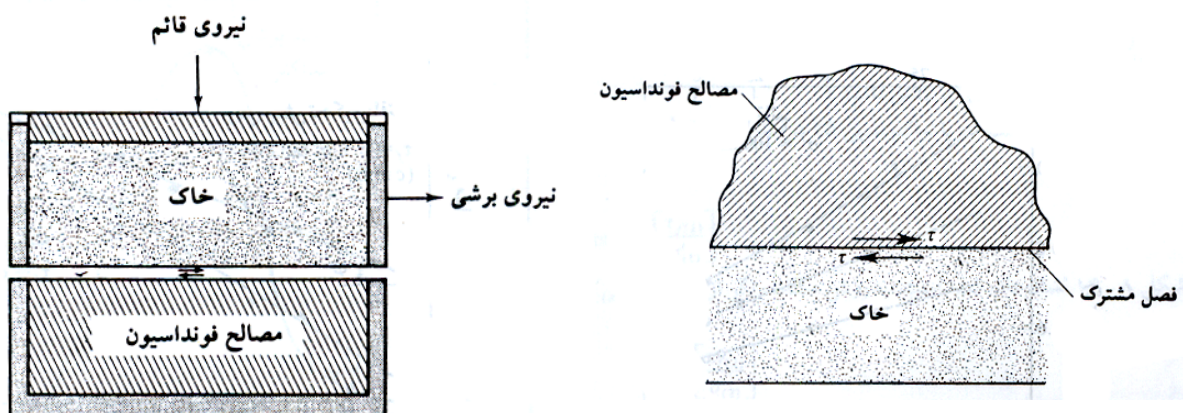
$$\tau_f = c_a + \sigma' \tan \delta \quad (9-8)$$

که در آن:

$$c_a = \text{چسبندگی}$$

δ = زاویه اصطکاک بین خاک و مصالح شالوده

توجه شود که رابطه فوق شبیه به رابطه ۲-۸ است. پارامترهای برشی بین خاک و مصالح شالوده به راحتی توسط آزمایش برش مستقیم قابل تعیین است. این کار از مزایای بزرگ آزمایش برش مستقیم است. مطابق شکل ۱۲-۸، در چنین آزمایشی، مصالح شالوده در قالب تحتانی و خاک در قالب فوقانی قرار گرفته و آزمایش طبق روش معمول انجام می‌شود.



شکل ۱۲-۸ آزمایش برش مستقیم برای تعیین زاویه اصطکاک
فصل مشترک

شکل ۱۱-۸ فصل مشترک شالوده و خاک زیر آن

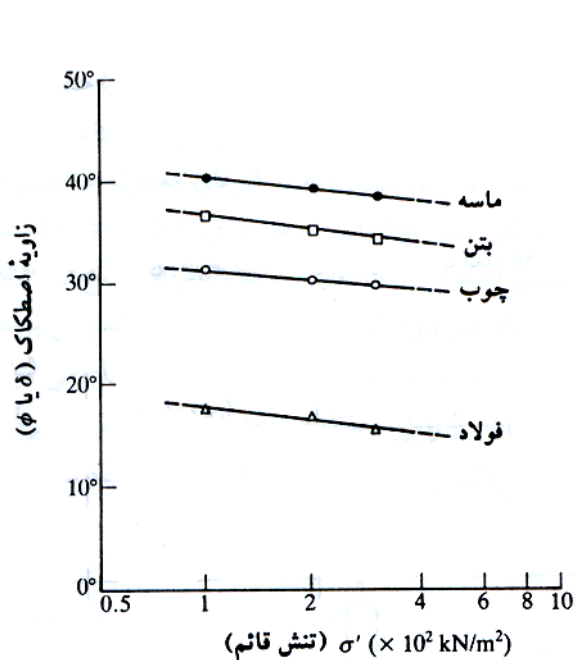
شکل ۱۳-۸ نشان دهنده نتایج چنین آزمایشی بر روی ماسه کوارتزی و بتن، چوب و فولاد به عنوان مصالح شالوده با تنش قائم $\sigma' = 100 \text{ kN/m}^2$ می‌باشد. شکل ۱۴-۸ نتایج آزمایش فوق را به صورت تابعی از σ' ، $c_a = 45$ با تراکم نسبی ۴۵ درصد برای ماسه، نشان می‌دهد. ملاحظه می‌شود که با افزایش تنش قائم σ' ، مقادیر δ و φ کاهش می‌یابد. علت این امر با مراجعه به شکل ۱۴-۸ قابل توجیه است. در بخش ۲-۸ و شکل ۱-۸، تذکر داده شد که پوشش شکست مور در واقعیت به صورت منحنی است و روابط $2-8$ ، $3-8$ و $9-8$ تقریبی هستند. اگر یک آزمایش برش مستقیم با $\sigma'_{(1)} = 6$ انجام شود، مقاومت برشی به صورت $\tau_{f(1)} = 6$ به دست می‌آید. در نتیجه:

$$\delta_1 = \tan^{-1} \left[\frac{\tau_{f(1)}}{\sigma'_{(1)}} \right]$$

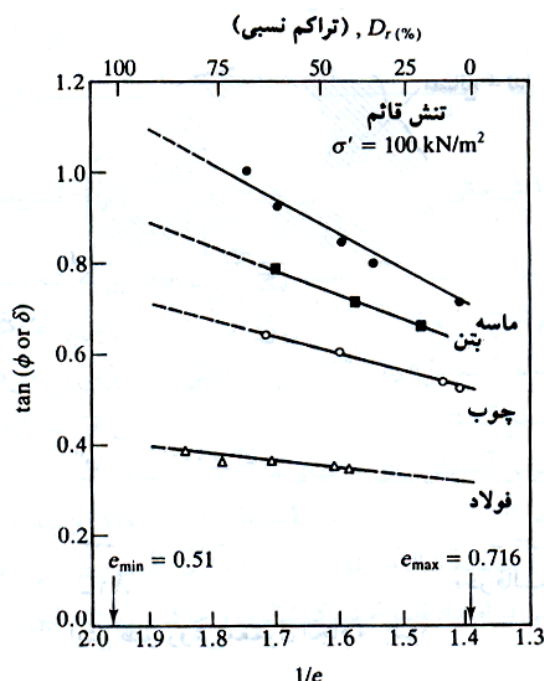
این مقدار در شکل ۱۵-۸ نشان داده شده است. به روش مشابه، اگر آزمایشی با $\sigma'_{(2)} = \sigma'_f$ انجام شود، خواهیم داشت:

$$\delta_1 = \delta_2 = \tan^{-1} \left[\frac{\tau_{f(2)}}{\sigma'_{(2)}} \right]$$

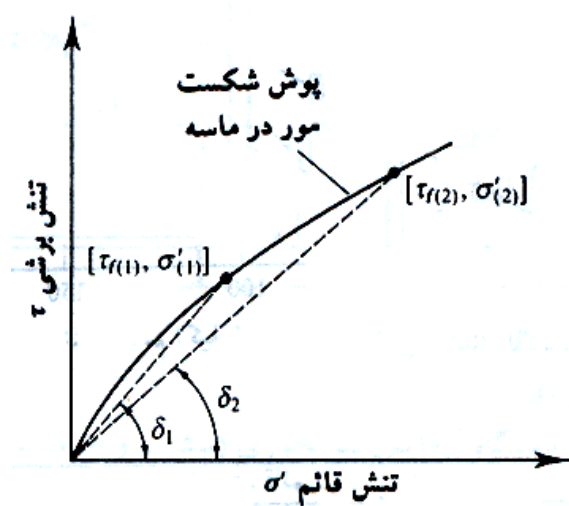
در شکل ۱۵-۸ می‌توان ملاحظه نمود که برای $\sigma'_{(1)} > \sigma'_{(2)}$ مقدار $\delta_1 < \delta_2$ است. با در نظر گرفتن این مسئله می‌توان نتیجه گرفت که مقادیر ϕ ارائه شده در جدول ۱-۸، مقادیر متوسط هستند.



شکل ۱۴-۸ تغییرات ϕ و δ بر حسب σ' با تراکم نسبی ۴۵ درصد برای ماسه کوارتزی



شکل ۱۳-۸ تغییرات $\tan \phi$ و $\tan \delta$ بر حسب D_r (برای $\sigma' = 100 \text{ kN/m}^2$ نسبت تخلخل ماسه است)



شکل ۱۵-۸ طبیعت منحنی پوش شکست مور در ماسه

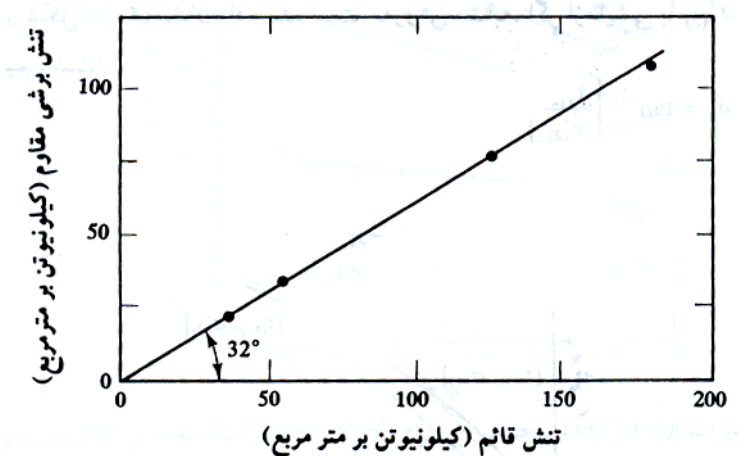
مثال: 

نتایج آزمایش برش مستقیم بر روی یک خاک ماسه ای با نمونه هایی با ابعاد $50 \times 19\text{mm}$ به شرح زیر است:

تنش برشی گسیختگی $\tau (\text{kN/m}^2)$	نیروی برشی گسیختگی (N)	تنش قائم (kN/m ²)	نیروی قائم (N)	شماره آزمایش
20.71	51.78	34.52	86.29	1
31.58	78.95	51.77	129.43	2
72.66	181.65	120.81	302.03	3
103.72	259.30	172.58	431.45	4

مطلوب است تعیین پارامترهای برشی

حل: مطابق شکل ۱۶-۸، نتایج بر روی یک دستگاه مختصات با محور افقی تنش قائم و محور قائم مقاومت برشی، برده شده و یک خط از آن‌ها عبور داده می‌شود که از آن $c = 0$ و $\phi = 32^\circ$ به دست می‌آید.



شکل ۱۶-۸

مثال: 

یک آزمایش برش مستقیم بر روی نمونه ای از ماسه خشک با تنش قائم 191.5kN/m^2 انجام شده است. گسیختگی در تنش برشی 119.7kN/m^2 رخ داده است. ابعاد نمونه $50/8 \times 50/8 \times 25/4$ میلیمتر می‌باشد. مطلوب است تعیین زاویه اصطکاک ϕ . همچنین برای تنش قائم 144kN/m^2 ، نیروی برشی لازم برای ایجاد گسیختگی در نمونه چقدر است.

حل مسئله: 

ماسه خشک $\rightarrow c = 0$

$$\begin{cases} \sigma = 191.5\text{kN/m}^2 \\ \tau_f = 119.7\text{kN/m}^2 \end{cases} \rightarrow \phi = \arctan\left(\frac{\tau_f}{\sigma}\right) = \arctan\left(\frac{119.7}{191.5}\right) = 32^\circ$$

$$\tau_f = \sigma \tan \phi = 144 \tan 32^\circ = 89.98\text{kN/m}^2$$

$$T_f = \tau_f \times A = 89.98 \times 10^3 \times 50.8^2 \times 10^{-6} = 232.2\text{N}$$



زاویه اصطکاک داخلی یک ماسه خشک متراکم شده، 41° درجه است. در آزمایش برش مستقیم بر روی این ماسه، تنش قائم 105kN/m^2 بوده است. ابعاد نمونه $50\times 50\times 8$ میلیمتر می باشد. چه نیروی برشی باعث گسیختگی نمونه می شود.

حل مسئله:



$$\text{ماسه خشک} \rightarrow c = 0$$

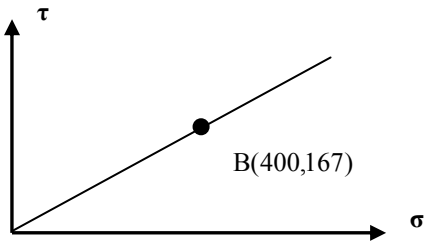
$$\varphi' = 41^\circ$$

$$\tau_f = \sigma \tan \varphi' = 105 \tan 41 = 91.275 \text{kN/m}^2$$

$$T_f = \tau_f \times A = 91.275 \times 10^3 \times 50.8^2 \times 10^{-6} = 235.54 \text{N}$$



تنش قائم و برشی در یک صفحه داخل خاک، با نقطه B که بر روی پوش گسیختگی قرار دارد، نشان داده می شود. مقدار σ_3 برابر 275 است. مقدار σ_1 (تنش اصلی بزرگتر) کدام است؟



حل مسئله:



چون خط $\tau = c + \sigma \tan \varphi$ از مبدأ مختصات می گذرد لذا $c = 0$ است. پس:

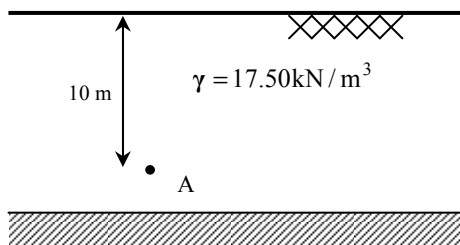
$$\tau_f = \sigma \tan \varphi \rightarrow 167 = 400 \tan \varphi \rightarrow \varphi = 22.7^\circ$$

$$\sigma_1 = \sigma_3 \tan^2 \left(45 + \frac{\varphi}{2} \right) + 2c \tan \left(45 + \frac{\varphi}{2} \right)$$

$$\sigma_1 = 275 \tan^2 \left(45 + \frac{22.7}{2} \right) + 0 = 620.6$$



آزمایش برش مستقیم، زاویه اصطکاک داخلی خاکی را 25° درجه و چسبندگی آن را $c = 10\text{kN/m}^2$ نشان داده است. با توجه به شکل، مقاومت برشی این خاک در صفحه افقی گزرنده از نقطه B چقدر است؟



$$\sigma_B = \gamma H = 17.5 \times 10 = 175 \text{kN/m}^2$$

$$\tau_B = \sigma_B \tan \varphi + c = 175 \tan 25^\circ + 10 = 91.6 \text{kN/m}^2$$

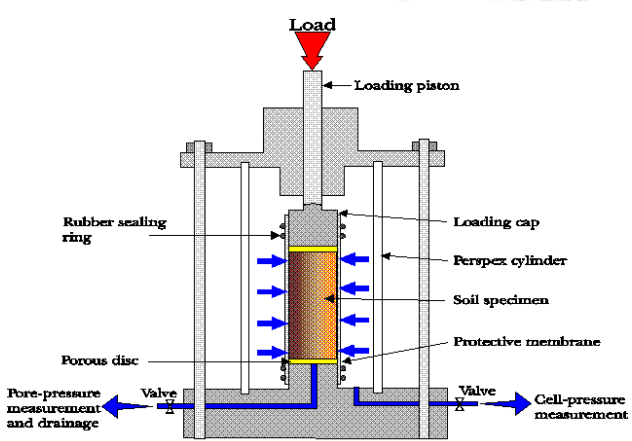
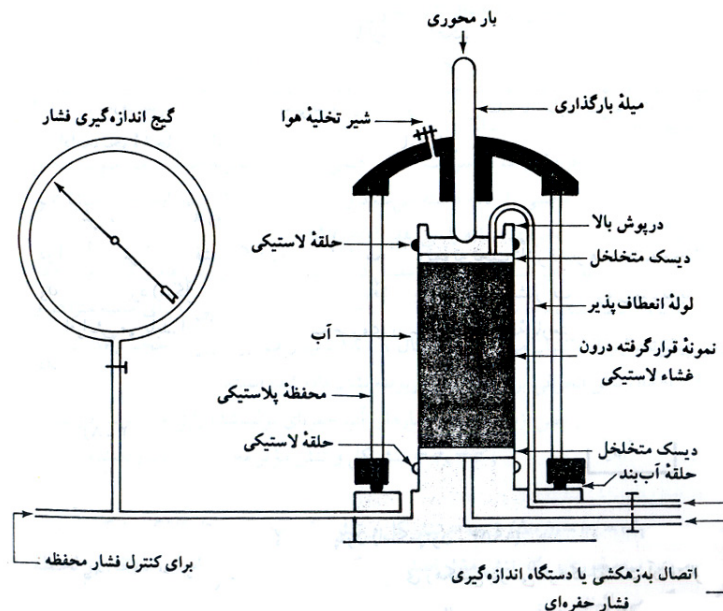
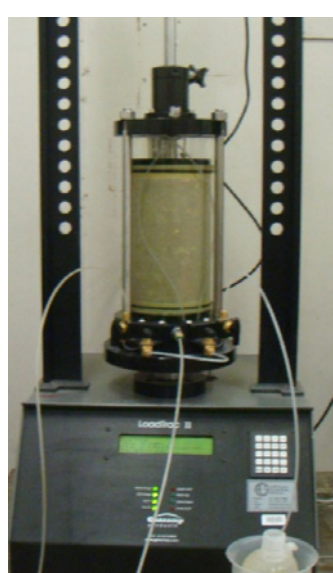

تمرین:

نتایج یک آزمایش برش مستقیم زهکشی شده بر روی یک نمونه رس عادی تحکیم یافته به شرح زیر می‌باشد:
ابعاد نمونه: قطر نمونه = ۵۰ میلیمتر ارتفاع نمونه = ۱۵ میلیمتر

مطلوب است رسم تنش برشی در لحظه گسیختگی در مقابل تنش قائم و تعیین زاویه اصطکاک داخلی زهکشی شده از روی این نمودار با استفاده از ترسیم دستی و نرم افزار اکسل (Excel).

آزمایش برش سه محوری | ۵-۸ |

آزمایش برش سه محوری، قابل اعتماد ترین روش برای تعیین پارامترهای مقاومت برشی است که از آن برای انجام تحقیقات و آزمایشهای لازم در کارهای معمول مهندسی خاک استفاده می‌شود. در شکل ۱۷-۸ اصول کلی دستگاه آزمایش سه محوری نشان داده شده است.



شکل ۱۷-۸ نمودار دستگاه آزمایش سه محوری (بیشپ و بیروم، ۱۹۶۰)

در این آزمایش معمولاً از یک نمونه خاک به قطر ۱/۵ اینچ (۳۸/۱ میلیمتر) و ارتفاع ۳ اینچ (۷۶/۲ میلیمتر) استفاده می‌شود. نمونه توسط یک غشای لاستیکی پوشانده شده و در داخل یک محفظه پلاستیکی که معمولاً پر از آب یا گلیسیرین است، قرار داده می‌شود. به کمک مایع موجود در داخل محفظه، نمونه تحت فشار محفظه‌ای محدود کننده قرار می‌گیرد. گاهی موقع برای ایجاد فشار محفظه‌ای محدود کننده از هوا استفاده می‌شود. برای ایجاد گسیختگی برشی در نمونه تنש محوری توسط یک میله بارگذاری قائم اعمال می‌گردد. این تنش، تنش انحرافی یا تفاوت تنشهای اصلی نامیده می‌شود. این کار را می‌توان با یکی از دو روش زیر انجام داد:

(الف) با اضافه کردن وزنه‌هایی با گام مساوی تا لحظه گسیختگی نمونه (تغییر شکل محوری نمونه به علت بار وارد به وسیله یک گیج عقربه‌ای اندازه گیری می‌شود)

(ب) اعمال تغییر شکل محوری با سرعت ثابت به وسیله یک پرس هیدرولیک. در این روش که آزمایش با کنترل تغییر شکل نامیده می‌شود، نیروی محوری نظیر یک تغییر شکل معلوم، به وسیله یک حلقه اندازه گیر، اندازه گیری می‌شود.

شیرهایی برای اندازه گیری زه آب ورودی یا خروجی از نمونه و یا اندازه گیری فشار آب حفره‌ای (بر حسب آزمایش) تعییه شده است. معمولاً سه نوع آزمایش سه محوری استاندارد انجام می‌شود.

- آزمایش تحکیم یافته زهکشی شده یا آزمایش زهکشی شده (آزمایش CD)

- آزمایش تحکیم یافته زهکشی نشده (آزمایش CU)

- آزمایش تحکیم نیافته زهکشی نشده یا آزمایش زهکشی نشده یا آزمایش سریع (آزمایش UU)

در ادامه، نحوه انجام و مفاهیم عمومی هر یک از آزمایش‌های مذکور در فوق ارائه می‌شود.

آزمایش تحکیم یافته زهکشی شده CD

در این آزمایش ابتدا با فشرده کردن سیال داخل محفظه، نمونه تحت تأثیر فشار همه جانبه محفظه‌ای σ_3 قرار می‌گیرد (شکل ۸-۱۸-الف). با اعمال فشار محدود کننده، فشار آب حفره‌ای نمونه به اندازه u_c افزایش می‌یابد. این افزایش فشار آب حفره‌ای را می‌توان به وسیله پارامتر بدون بعد زیر نمایش داد:

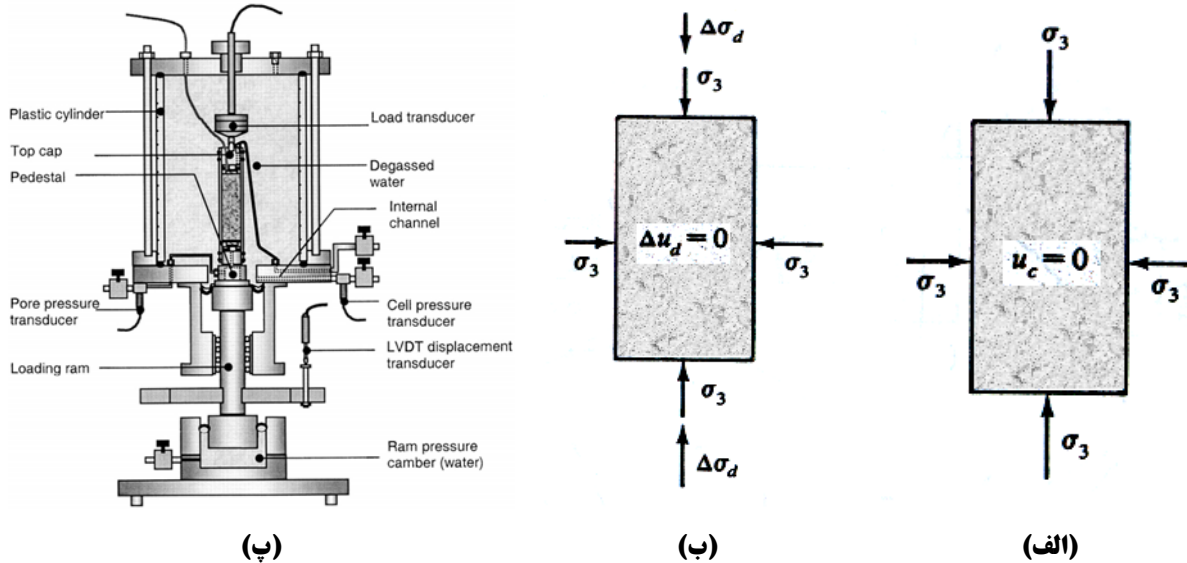
$$B = \frac{u_c}{\sigma_3} \quad (8-10)$$

که در آن:

B = پارامتر فشار آب حفره‌ای اسکمپتون (اسکمپتون - ۱۹۵۴)

برای خاکهای اشباع $B=1$ است. حال شیرهای زهکشی باز می‌شود که به علت آن فشار آب حفره‌ای زایل شده و تحکیم رخ می‌دهد. با گذشت زمان t مساوی صفر می‌شود. در خاک اشباع، تغییر حجم به وجود آمده در نمونه در حین تحکیم (ΔV_C) با استفاده از حجم آب زهکشی شده قابل اندازه گیری است (شکل ۸-۱۹-الف).

سپس تنش انحرافی Δu_d با سرعت خیلی کمی بر روی نمونه اعمال می‌شود (شکل ۸-۱۸-ب). شیر زهکشی باز نگه داشته می‌شود و سرعت کم اعمال تنش انحرافی، اجازه زایل شدن هرگونه فشار آب حفره‌ای اضافه می‌دهد ($\Delta u_d = 0$).



شکل ۸-۱۸ آزمایش سه محوری تحریم یافته زهکشی شده (الف) نمونه تحت تأثیر فشار محفظه ای محدود کننده
(ب) اعمال تنفس انحرافی (پ) اجزاء تشکیل دهنده سلول فشار محفظه ای

نمودار تیپ تغییرات تنفس انحرافی در مقابل کرنش در ماسه شل و رس عادی تحریم یافته در شکل ۸-۱۹-۱ نشان داده شده است. شکل ۸-۱۹-۲ نمودار مشابهی را برای ماسه متراکم و رس پیش تحریم یافته نشان می دهد. در اشکال ۸-۱۹-۲ پ و ث نیز تغییرات حجم $\Delta\sigma_d$ نمونه به علت اعمال تنفس انحرافی برای خاکهای مربوطه نشان داده شده است.

از آنجایی که در حین آزمایش تمام فشارهای آب حفره ای تولید شده زایل می شوند، داریم:

$$\text{تنفس کل و تنفس موثر محفظه ای محدود کننده} = \sigma'_3 = \sigma_3$$

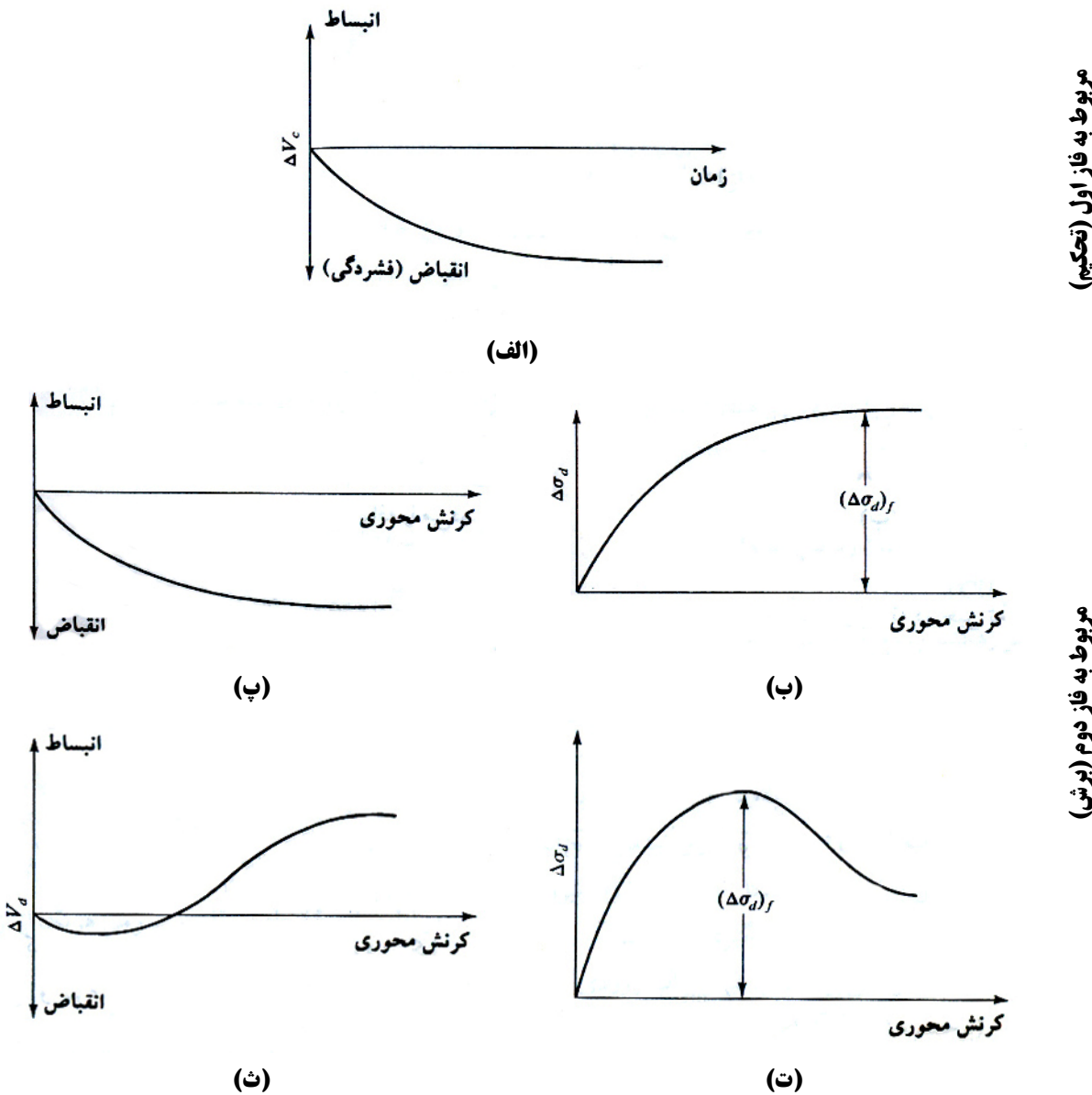
$$\text{تنفس کل و تنفس موثر محوی در لحظه گسیختگی} = \sigma'_1 = \sigma_1 + (\Delta\sigma_d)_f$$

در آزمایش سه محوری، σ'_1 تنفس موثر اصلی حداکثر و σ'_3 تنفس موثر اصلی حداقل در لحظه گسیختگی می باشند.

با تغییر فشار محفظه ای محدود کننده، آزمایشهای متعددی را می توان بر روی نمونه های مشابه انجام داد. برای هر آزمایش با داشتن تنشهای اصلی حداکثر و حداقل در لحظه گسیختگی، دایره مور قابل رسم است که با داشتن دوایر مور مربوط به چند آزمایش، می توان پوش گسیختگی را برای خاک مورد آزمایش رسم کرد. شکل ۸-۲۰ پوش گسیختگی تنفس موثر تیپ را برای ماسه و رس عادی تحریم یافته نشان می دهد. مختصات نقاط تماس منحنی پوش با دوایر مور (یعنی نقاط A و B) نشان دهنده تنفس قائم و برشی موثر موجود در صفحه گسیختگی نمونه های آزمایشی می باشند.

خاکهای رسی که قبل از تأثیر فشار محفظه ای همه جانبی ($\sigma'_3 = \sigma_3$) چه به صورت طبیعی تحت سربار اضافه و چه به صورت مصنوعی در آزمایشگاه تحریم یافته اند، خاکهای پیش تحریم یافته نامیده می شود. برای چنین خاکهایی پوش گسیختگی دارای دو شاخه متمایز ab (برای تنشهای قائم کوچکتر از پیش تحریمی) و bc (برای تنشهای قائم بزرگتر از پیش تحریمی) خواهد بود (شکل ۸-۲۱). قسمت ab دارای شیب کمتر و چسبندگی اولیه می باشد که معادله مقاومت برشی برای آن به صورت زیر نوشته می شود:

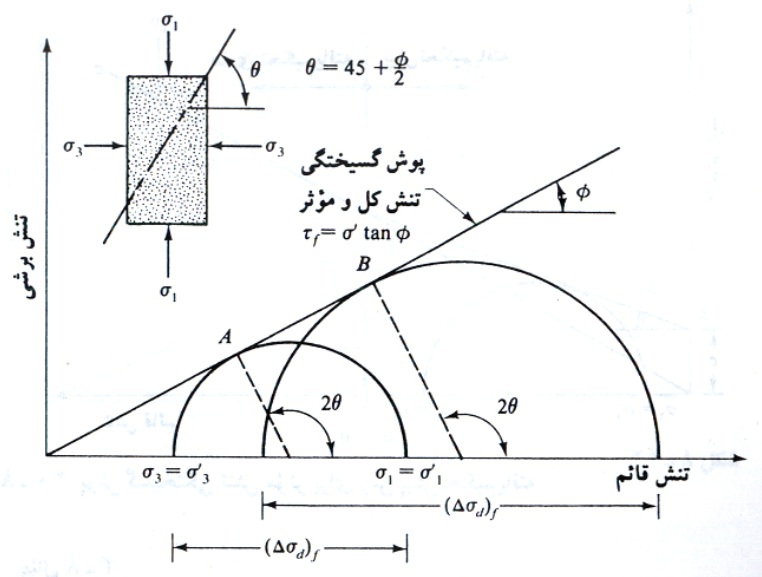
$$\tau_f = c + \sigma' \tan \phi_l \quad (8-11)$$



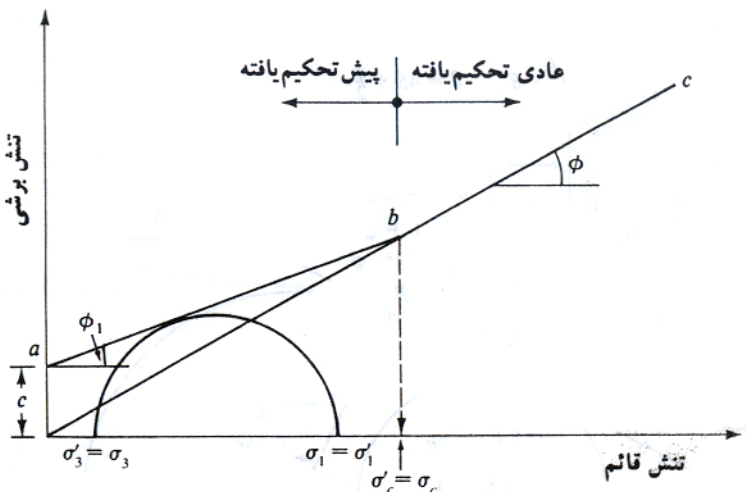
شکل ۸-۸ آزمایش سه محوری تحریم یافته زهکشی شده (الف) تغییر حجم نمونه به علت فشار محفظه‌ای محدود گشته (ب) نمودار تغییرات تنفس انحرافی در مقابل کرنش محوری (پ) تغییر حجم در اثنای اعمال تنفس انحرافی در ماسه شل و رس عادی تحریم یافته (ت) نمودار تغییرات تنفس انحرافی در مقابل کرنش در امتداد قائم برای ماسه متراکم و رس پیش تحریم (ث) تغییر حجم در اثنای اعمال تنفس انحرافی در ماسه متراکم و رس پیش تحریم یافته.

شاخص bC از پوش گسیختگی، نشان دهنده مرحله عادی تحریم یافته خاک است که از رابطه مقاومت برشی $\tau_f = \sigma' \tan \phi$ تبعیت می‌کند.

یک آزمایش سه محوری تحریم یافته زهکشی شده بر روی یک نمونه رسی ممکن است چند روز به طول بکشد. این مسئله ناشی از سرعت بسیار کم اعمال تنفس انحرافی برای اطمینان از زهکشی کامل نمونه است. به همین علت آزمایش‌های **CD** در عمل کمتر مورد استفاده قرار می‌گیرند.



شکل ۲۰-۸ پوش گسیختگی تنش موثر حاصل از آزمایش زهکشی شده در ماسه و رس عادی تحکیم یافته



شکل ۲۱-۸ پوش گسیختگی تنش موثر برای رس پیش تحکیم یافته

مثال:

بر روی رس عادی تحکیم یافته آزمایش سه محوری تحکیم یافته زهکشی شده انجام شده که نتایج آن به شرح زیر است:

$$\sigma_3 = 276 \text{ kN/m}^2$$

$$(\Delta\sigma_d) = 276 \text{ kN/m}^2$$

مطلوب است تعیین:

الف - زاویه اصطکاک ϕ

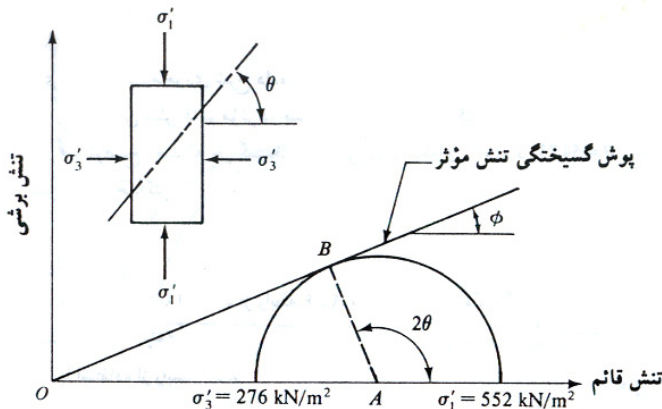
ب - زاویه θ که صفحه گسیختگی با صفحه تنش اصلی حداقل می سازد.

پ - تنش قائم σ' و تنش برشی τ_f بر روی صفحه گسیختگی

حل:

برای خاک رس عادی تحکیم یافته معادله پوش گسیختگی برای تنش موثر به صورت زیر است:

$$\tau_f = \sigma' \tan \phi$$



شکل ۲۲-۸

برای آزمایش سه محوری، تنش اصلی حداکثر و حداقل موثر به صورت زیر به دست می‌آید:

$$\sigma' = \sigma_1 = \sigma_3 + (\Delta\sigma_d)_f = 276 + 276 = 552 \text{ kN/m}^2$$

۹

$$\sigma'_3 = \sigma_3 = 276 \text{ kN/m}^2$$

با اطلاعات فوق می‌توان یک دایره رسم کرد (شکل ۲۲-۸)

قسمت (الف): دایره مور و پوش گسیختگی برای تنش موثر، در شکل ۲۸-۸ نشان داده شده که از آن داریم:

$$\sin \phi = \frac{AB}{OA} = \frac{\left(\frac{\sigma'_1 - \sigma'_3}{2} \right)}{\left(\frac{\sigma'_1 + \sigma'_3}{2} \right)} = \frac{\sigma'_1 - \sigma'_3}{\sigma'_1 + \sigma'_3} = \frac{552 - 276}{552 + 276} = 0.333 \rightarrow \phi = \sin^{-1}(0.333) = 19.45^\circ$$

قسمت (ب):

$$\theta = 45 + \frac{\phi}{2} = 45^\circ + \frac{19.45^\circ}{2} = 54.73^\circ$$

قسمت پ: با توجه به روابط ۸-۶ و ۹-۶ می‌توان نوشت:

$$\sigma' = \frac{\sigma'_1 + \sigma'_3}{2} + \frac{\sigma'_1 - \sigma'_3}{2} \cos 2\theta$$

$$\tau_f = \frac{\sigma'_1 - \sigma'_3}{2} \sin 2\theta$$

با قراردادن $\theta = 54.73^\circ$, $\sigma'_3 = 276 \text{ kN/m}^2$, $\sigma'_1 = 552 \text{ kN/m}^2$ در روابط قبل به دست می‌آید:

$$\sigma' = \frac{552 + 276}{2} + \frac{552 - 276}{2} \cos(2 \times 54.73) = 368.03 \text{ kN/m}^2$$

$$\tau_f = \frac{552 - 276}{2} \sin(2 \times 54.73) = 130.12 \text{ kN/m}^2$$

مثال:

برای آزمایش سه محوری شرح داده شده در مثال قبل مطلوب است:

الف: تعیین تنش قائم موثر در صفحه تنش برشی حداکثر

ب: توضیح دهید که چرا گسیختگی برشی در صفحه ای با امتداد $\theta = 54.73^\circ$ رخ می‌دهد نه در صفحه تنش برشی حداکثر

حل:

قسمت (الف): تنش برشی حداکثر در صفحه ای با امتداد $\theta = 45^\circ$ رخ می دهد.

با توجه به دایره مور داریم:

$$\sigma' = \frac{\sigma'_1 + \sigma'_3}{2} = \frac{\sigma'_1 - \sigma'_3}{2} \cos 20$$

با قرار دادن $\theta = 45^\circ$ در رابطه قبل:

$$\sigma' = \frac{552+276}{2} + \frac{552-276}{2} \cos 90 = 414 \text{ k N/m}^2$$

قسمت (ب): تنش برشی که می تواند باعث گسیختگی در صفحه ای با $\theta = 45^\circ$ شود، برابر است با:

$$\tau_f = \sigma' \tan \varphi = 414 \tan(19.45) = 146.2 \text{ k N/m}^2$$

لیکن تنش برشی ایجاد شده در آن صفحه بابر است با:

$$\tau = \frac{\sigma'_1 - \sigma'_3}{2} \sin 20 = \frac{552-276}{2} \sin 90 = 138 \text{ k N/m}^2$$

از آنجایی که $\tau_f = 146.2 \text{ k N/m}^2 > \tau = 138 \text{ k N/m}^2$ نمونه در امتداد صفحه تنش برشی حداکثر گسیخته نمی شود.

مثال:

دو نمونه از یک خاک رس در دستگاه سه محوری تحت فشار محفظه ای 600 k N/m^2 پیش تحکیم یافته اند. با انجام آزمایش سه محوری تحکیم یافته زهکشی شده بر روی آنها، نتایج زیر بدست آمد:

$$\begin{aligned} \text{نمونه ۱: } \sigma_3 &= 100 \text{ k N/m}^2 \\ (\Delta\sigma_d)_f &= 410.6 \text{ k N/m}^2 \end{aligned}$$

$$\begin{aligned} \text{نمونه ۲: } \sigma_3 &= 50 \text{ k N/m}^2 \\ (\Delta\sigma_d)_f &= 384.37 \text{ k N/m}^2 \end{aligned}$$

مطلوب است تعیین پارامترهای مقاومت برشی برای خاک رس مورد آزمایش.

حل:

برای نمونه ۱، تنشهای اصلی در لحظه گسیختگی برابرند با:

$$\sigma'_3 = \sigma_3 = 100 \text{ k N/m}^2$$

۹

$$\sigma'_1 = \sigma_1 = \sigma_3 + (\Delta\sigma_d)_f = 100 + 410.6 = 510.6 \text{ k N/m}^2$$

به طور مشابه، تنشهای اصلی در لحظه گسیختگی برای نمونه ۲ برابرند با:

$$\sigma'_3 = \sigma_3 = 50 \text{ k N/m}^2$$

۹

$$\sigma'_1 = \sigma_1 = \sigma_3 + (\Delta\sigma_d)_f = 50 + 384.376 = 434.376 \text{ k N/m}^2$$

هر دو نمونه پیش تحکیم یافته اند. بنابراین می توان نوشت:

$$\sigma'_1 = \sigma'_3 \tan^2 \left(45 + \frac{\Phi_1}{2} \right) + 2c \tan \left(45 + \frac{\Phi_1}{2} \right)$$

برای نمونه ۱ می توان نوشت:

$$510.6 = 100 \tan^2 \left(45 + \frac{\Phi_1}{2} \right) + 2c \tan \left(45 + \frac{\Phi_1}{2} \right)$$

و برای نمونه ۲:

$$434.37 = 50 \tan^2 \left(45 + \frac{\Phi_1}{2} \right) + 2c \tan \left(45 + \frac{\Phi_1}{2} \right)$$

با کم کردن دو رابطه فوق از یکدیگر، رابطه زیر به دست می آید:

$$76.23 = 50 \tan^2 \left(45 + \frac{\phi_1}{2} \right) \rightarrow 45 + \frac{\phi_1}{2} = \tan^{-1} \left[\sqrt{\frac{76.23}{50}} \right] = 51^\circ \rightarrow \phi_1 = 12^\circ$$

با قرار دان $\phi_1 = 12^\circ$ در رابطه ۱۴-۸-الف خواهیم داشت:

$$510.6 = 100 \tan^2 [45 + (12/2)] + 2c \tan [45 + (12/2)]$$

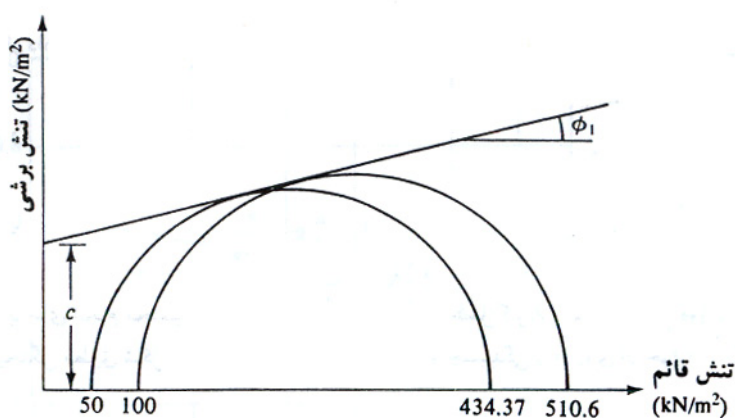
۹

$$510.6 = 152.5 + 2.47c$$

یا

$$c = 145 \text{ kN/m}^2$$

به جای انجام محاسبات می توان به طریقه ترسیمی عمل کرده و پس از رسم دوایر مور و پوش گسیختگی مطابق شکل زیر، مقادیر زاویه اصطکاک و چسبندگی را از روی آن خواند.



مثال:

یک آزمایش سه محوری انجام شده بر روی خاک رس تحرکیم یافته نشان می دهد که صفحه شکست با افق زاویه ۵۸ درجه می سازد. اگر نمونه تحت فشار محفظه ای 103.5 kN/m^2 انجام شود، تنش اصلی حداکثر در هنگام شکست چقدر خواهد بود؟

حل:

با استفاده از رابطه ۶-۸ داریم :

$$\theta = 45 + \phi / 2 \rightarrow 58^\circ = 45 + \phi / 2 \rightarrow \phi = 26^\circ$$

$$c = 0 \rightarrow \sigma'_1 = \sigma'_3 \tan^2 (45 + \phi / 2) \rightarrow (103.5) \tan^2 (45 + 26/2) = 265 \text{ kN/m}^2$$

آزمایش تحرکیم یافته زهکشی نشده (CU)

آزمایش تحرکیم یافته زهکشی نشده معمولترین نوع آزمایش سه محوری است. در این آزمایش نمونه خاک اشباع ابتدا توسط فشار محفظه ای همه جانبی σ_3 تحرکیم می یابد (شیر زهکشی باز است). بعد از زایل شدن کامل اضافه فشار حفره ای ایجاد شده توسط فشار محفظه ای (یعنی $0 = B\sigma_3 - u_c$)، تنش انحرافی قائم $\Delta\sigma_d$ افزایش داده می شود تا جایی که باعث

گسیختگی شود. در حین این مرحله از آزمایش، شیر زهکشی بسته است. از آنجایی که زهکشی اجازه داده نشده، فشار آب حفره ای، Δu_d افزایش خواهد یافت. در حین آزمایش، مقادیر $\Delta \sigma_d$ و Δu_d به طور همزمان قرائت می شوند. افزایش فشار حفره ای، Δu_d در شکل بدون بعد، به صورت زیر نشان داده می شود:

$$A = \frac{\Delta u_d}{\Delta \sigma_d} \quad (11-8)$$

که در آن A پارامتر فشار حفره ای اسکمپتون (۱۹۵۴) می باشد.

شکل عمومی تغییرات $\Delta \sigma_d$ و Δu_d در مقابل کرنش محوری برای ماسه و رس در شکل ۲۳-۸ نشان داده شده است. در ماسه شل و رس عادی تحکیم یافته با افزایش کرنش، فشار آب حفره ای افزایش می یابد. در ماسه متراکم و رس پیش تحکیم یافته، با افزایش کرنش، فشار آب حفره ای ابتدا افزایش می یابد لیکن پس از گذر از حد مشخصی، فشار آب حفره ای کاهش یافته و نسبت به فشار اتمسفر، منفی می شود. این مسئله به علت تمایل نمونه به اتساع است.

برخلاف آزمایش تحکیم یافته زهکشی شده، در آزمایش تحکیم یافته زهکشی نشده، تنشهای اصلی کل و موثر با هم مساوی نیستند. چون در حین این آزمایش، فشار آب حفره ای در لحظه گسیختگی اندازه گیری شده است، تنشهای اصلی کل و موثر را می توان به صورت زیر نوشت:

$$\sigma_3 + (\Delta \sigma_d)_f = \sigma_1 \quad \text{تنش اصلی حداکثر در لحظه گسیختگی (کل)}$$

$$\sigma_3 - (\Delta \sigma_d)_f = \sigma'_1 \quad \text{تنش اصلی حداکثر در لحظه گسیختگی (موثر)}$$

$$\sigma_3 \quad \text{تنش اصلی حداقل در لحظه گسیختگی (کل)}$$

$$\sigma_3 - (\Delta \sigma_d)_f = \sigma'_3 \quad \text{تنش اصلی حداقل در لحظه گسیختگی (موثر)}$$

که در آن :

$$(\Delta \sigma_d)_f = \text{فشار آب حفره ای در لحظه گسیختگی}$$

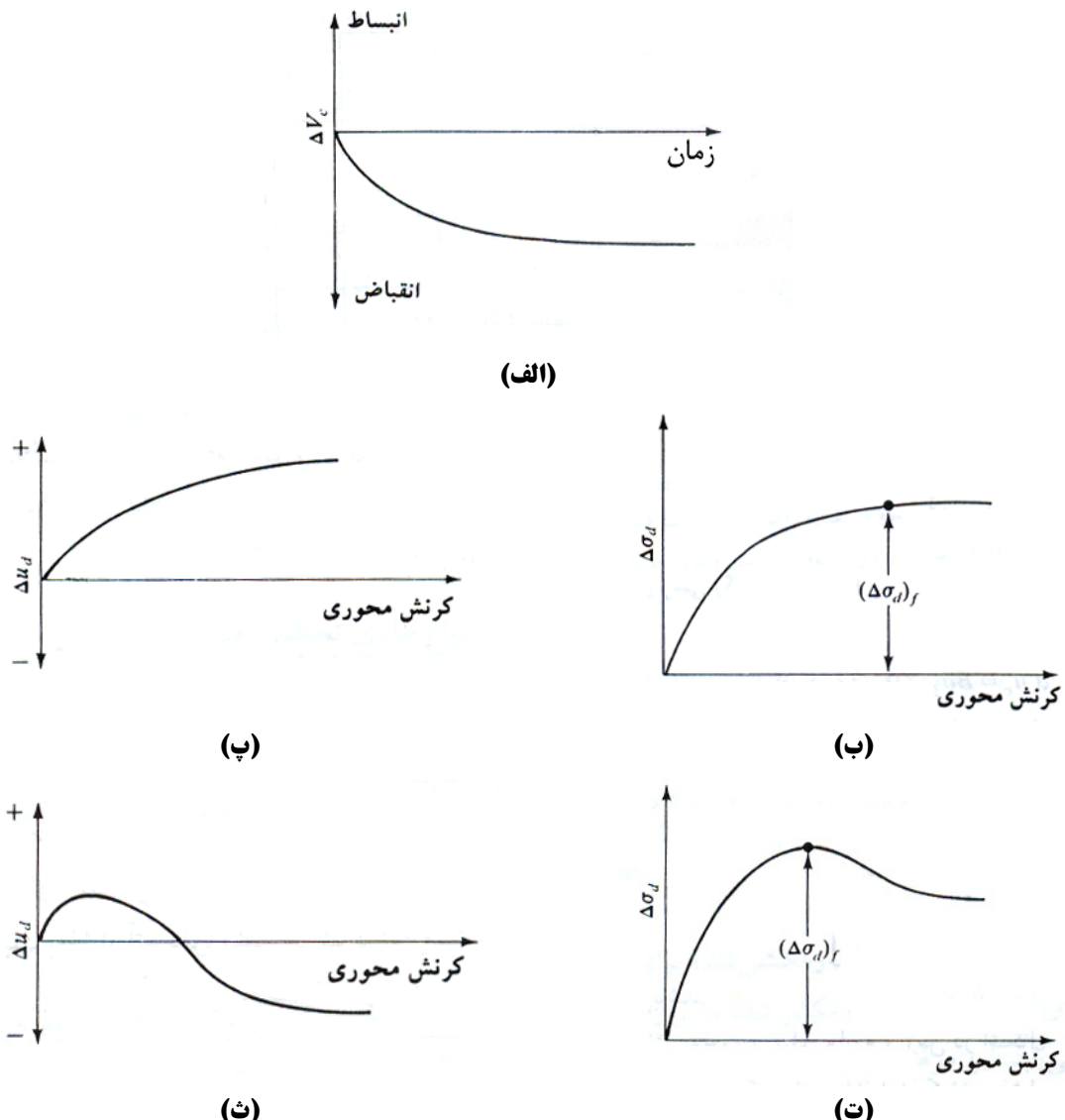
$$\sigma_1 - \sigma_3 = \sigma'_1 - \sigma'_3 \quad \text{روابط قبل نشان می دهد که:}$$

برای تعیین پارامترهای برشی خاک، نمونه های مختلف از خاک مورد نظر با فشارهای محفظه ای مختلف مورد آزمایش قرار می گیرند. در شکل ۲۴-۸ دوایر مور برای تنشهای کل و موثر در لحظه گسیختگی از یک آزمایش تحکیم یافته زهکشی نشده برای ماسه و رس عادی تحکیم یافته حاصل شده اند، به نمایش درآمده است.

توجه شود که **A** و **B** دوایر مور تنش کل بدست آمده از دو آزمایش مختلف و **C** و **D** نیز به ترتیب دوایر مور تنش موثر نظیر هستند. قطر دوایر **A** و **C** و قطر دوایر **B** و **D** با یکدیگر مساوی می باشند.

در شکل ۲۴-۸، پوش گسیختگی برای تنشهای کل از رسم مماس بر دوایر مور تنشهای کل (**A** و **B**) به دست می آید. برای ماسه و رس عادی تحکیم یافته، این پوش تقریباً یک خط مستقیم است که از مرکز مختصات گذشته و معادله آن به شکل زیر است:

$$\tau_f = \sigma \tan \Phi_{(cu)} \quad (12-8)$$



شکل ۲۳-۸ نتایج آزمایش تحکیم یافته زهکشی نشده

که در آن:

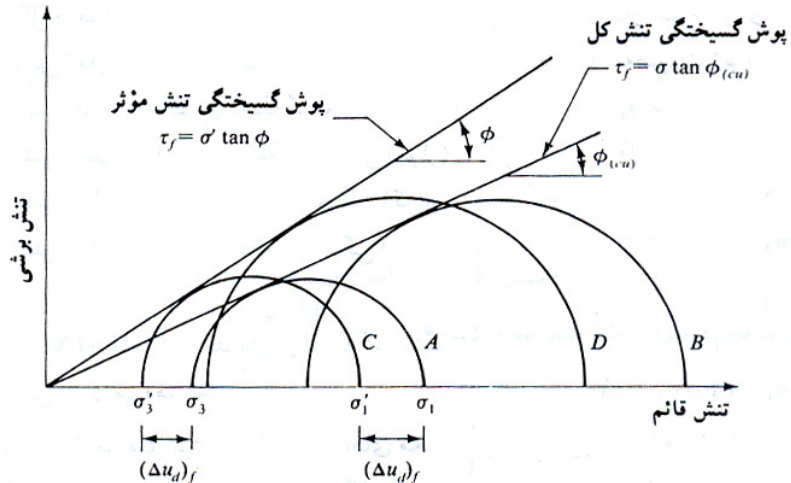
$$\sigma = \text{تنش کل}$$

$\Phi_{(cu)}$ = زاویه ای که پوش گسیختگی برای تنش کل با محور تنش قائم (محور افقی) می‌سازد و به زاویه مقاومت برشی تحکیم یافته زهکشی نشده معروف است.

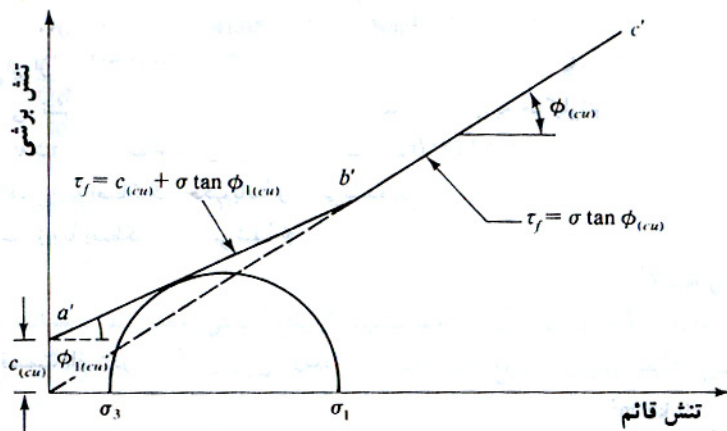
با مراجعه مجدد به شکل ۲۴-۸، پوش گسیختگی مماس بر دوایر مور تنش موثر، برای ماسه و رس عادی تحکیم یافته که آن نیز از مرکز مختصات می‌گذرد با معادله $\tau_f = \sigma' \tan \varphi$ نمایش داده می‌شود که مشابه نتیجه به دست آمده از آزمایش تحکیم یافته زهکشی شده است.

در درسهای پیش تحکیم یافته، پوش گسیختگی تنش کل به دست آمده از آزمایش تحکیم یافته زهکشی نشده، مطابق شکل ۲۵-۸ خواهد بود. خط مستقیم که $a'b'$ دارای معادله زیر است:

$$\tau_f = c_{(cu)} + \sigma \tan \varphi_{l(cu)}$$



شکل ۲۴-۸ پوش گسیختگی تنش موثر و تنش کل به دست آمده از آزمایش تحکیم سه محوری تحکیم یافته زهکشی نشده بروای ماسه و رس عادی تحکیم یافته



شکل ۲۵-۸ پوش گسیختگی تنش کل به دست آمده از آزمایش تحکیم یافته زهکشی نشده در رس پیش تحکیم یافته

آزمایشهای تحکیم یافته زهکشی شده بر روی خاکهای رسی، بسیار وقت گیر هستند. در نتیجه به منظور تعیین پارامترهای برشی زهکشی شده برای این خاکها، از آزمایش تحکیم یافته زهکشی نشده با اندازه گیری فشار آب حفره ای استفاده می شود. در این نوع آزمایش، از آنجا که در هنگام اعمال تنش انحرافی قائم زهکشی صورت نمی گیرد، مراحل کار نسبتاً سریع انجام می شوند.

پارامتر فشار حفره ای A اسکمپتون در رابطه ۱۱-۸ تعریف شد. در لحظه گسیختگی پارامتر A می تواند به صورت زیر نوشته شود:

$$A = A_f = \frac{(\Delta u_d)_f}{(\Delta \sigma_d)_f} \quad (13-8)$$

تغییرات A_f برای اغلب خاکهای رسی به شرح زیر است:

خاکهای رس عادی تحکیم یافته ۰/۵ تا ۱

خاکهای رس پیش تحکیم یافته ۰/۵ تا ۱

مثال:

نمونه ای از ماسه اشباع تحت فشار محفظه ای 60kN/m^2 تحکیم یافت. پس از آن بدون اجازه زهکشی، تنش محوری افزایش داده شد. وقتی که تنش محوری به 50kN/m^2 رسید، نمونه گسیخته شد. فشار آب حفره ای در لحظه گسیختگی 41.35kN/m^2 بود. مطلوب است:

(الف) زاویه اصطکاک تحکیم یافته زهکشی نشده $\phi_{(\text{cu})}$

(ب) زاویه اصطکاک زهکشی شده ϕ

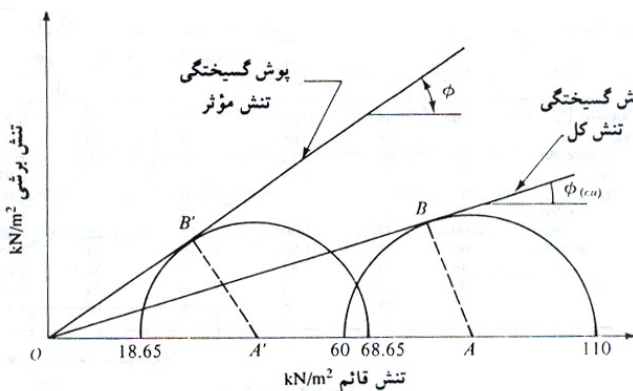
حل:

قسمت الف: در لحظه گسیختگی داریم:

$$\sigma_3 = 60\text{kN/m}^2$$

$$\sigma_1 = \sigma_3 + (\Delta\sigma_d)_f = 60 + 50 = 110\text{kN/m}^2$$

با استفاده از شکل زیر داریم:



$$\sin \phi_{(\text{cu})} = \frac{AB}{OA} = \frac{\sigma_1 - \sigma_3}{\sigma_1 + \sigma_3} = \frac{110 - 60}{110 + 60} = \frac{50}{170} = 0.294 \rightarrow \phi_{(\text{cu})} = 17.1^\circ$$

قسمت ب:

$$\sigma'_3 = \sigma_3 - (\Delta u_d)_f = 60 - 41.35 = 18.65 \text{ kN/m}^2$$

$$\sigma'_1 = \sigma_1 - (\Delta u_d)_f = 110 - 41.35 = 68.65 \text{ kN/m}^2$$

$$\sin \phi = \frac{A'B'}{OA'} = \frac{\sigma'_1 - \sigma'_3}{\sigma'_1 + \sigma'_3} = \frac{68.65 - 18.65}{68.65 + 18.65} = \frac{50}{87.3} = 0.5727 \rightarrow \phi = 34.94^\circ$$

مثال:

مجددأً به نمونه خاک مثال قبل مراجعه نمایید. اگر یک آزمایش زهکشی شده با همان فشار محفظه ای (یعنی 60kN/m^2) انجام شود، تنش انحرافی $(\Delta\sigma_d)_f$ در هنگام گسیختگی چقدر خواهد بود؟

حل:

برای رس عادی تحکیم یافته $C = 0$

$$\sigma'_1 = \sigma'_3 \tan^2(45 + \phi/2)$$

$$\sigma'_3 = 60\text{kN/m}^2 \quad \phi = 34.94^\circ \quad \text{مثال قبل}$$

در نتیجه می توان نوشت:

$$\sigma'_1 = 60 \tan^2 \left(45 + \frac{34.94}{2} \right) = 220.85 \text{ kN/m}^2 \rightarrow (\Delta\sigma_d)_f = \sigma'_1 - \sigma'_3 = 220.85 - 60 = 160.85 \text{ kN/m}^2$$

آزمایش تحکیم نیافته زهکشی نشده (UU)

در آزمایش تحکیم نیافته زهکشی نشده، در حین اعمال فشار محفظه ای σ_3 ، اجازه زهکشی به نمونه داده نمی شود. سپس بدون اینکه اجازه زهکشی داده شود، تنش انحرافی $\Delta\sigma_d$ اعمال شده و مقدار آن افزایش داده می شود تا نمونه گسیخته شود. از آنجایی که در هیچ یک از مراحل آزمایش اجازه زهکشی داده نمی شود، آزمایش می تواند به سرعت انجام شود. با اعمال فشار محفظه ای محدود کننده σ_3 ، فشار آب حفره ای در نمونه خاک به اندازه u_c افزایش می یابد. با اعمال تنش انحرافی Δu_d ، افزایش دیگری به اندازه Δu_d در فشار آب حفره ای به وجود می آید. بنابراین فشار آب حفره ای کل u در نمونه در هر مرحله از اعمال تنش انحرافی به صورت زیر نوشته می شود:

$$u = u_c + \Delta u_d \quad (14-8)$$

با استفاده از روابط $10-8$ و $13-8$ می توان نوشت:

$$u_c = B\sigma_3 \quad \text{و} \quad \Delta u_d = A\Delta\sigma_d$$

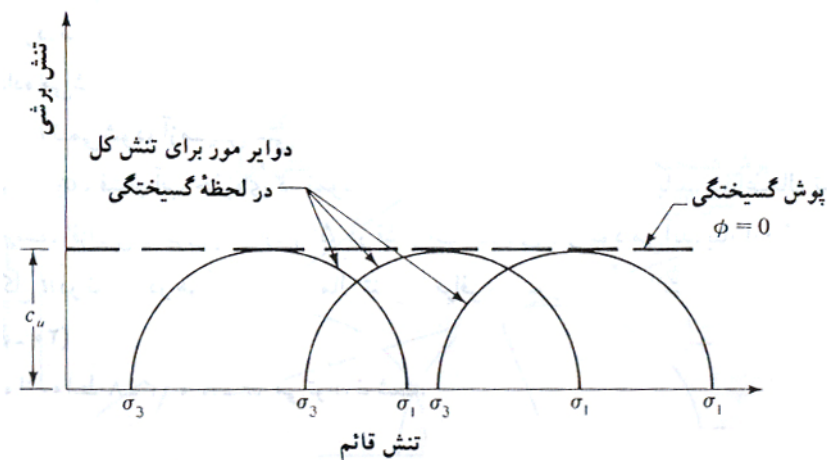
بنابراین:

$$u = B\sigma_3 + A\Delta\sigma_d = B\sigma_3 + A(\sigma_1 - \sigma_3) \quad (15-8)$$

این آزمایش معمولاً روی نمونه های رسی انجام می شود و یک مفهوم عمیق مقاومتی برای خاکهای چسبنده اشباع دارد. در این آزمایش، برای فشارهای محدود کننده محفظه ای مختلف، تنش محوری انحرافی در لحظه گسیختگی $(\Delta\sigma_d)_f$ عملأً یکسان می باشد. این موضوع در شکل ۲۶-۸ نشان داده شده است. پوش گسیختگی برای دوایر مور تنش کل به صورت یک خط افقی در می آید و به همین علت به آن شرایط $\phi = 0$ می گویند. با توجه به این مسئله، رابطه مقاومت برشی به صورت زیر نوشته می شود:

$$\tau_f = c_u \quad (16-8)$$

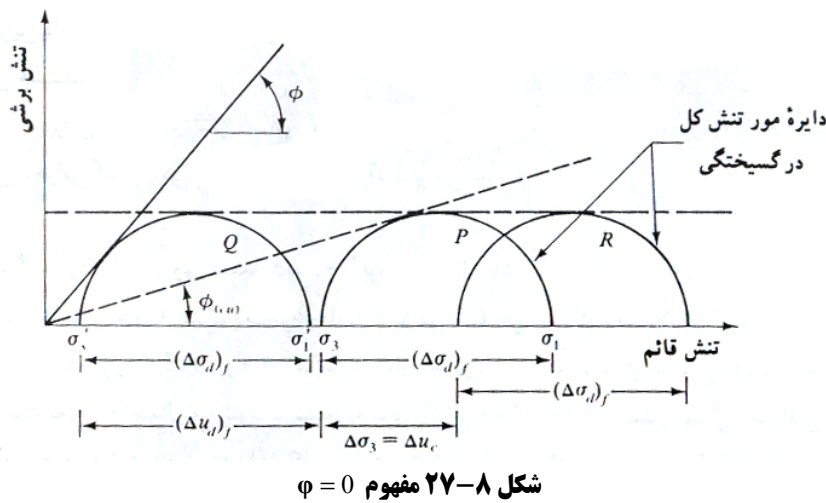
در رابطه فوق، c_u مقاومت برشی زهکشی نشده است که مساوی شعاع دایره مور می باشد.



شکل ۲۶-۸ دوایر مور تنش کل و پوش گسیختگی ($\phi = 0$) که از آزمایش تحکیم نیافته زهکشی نشده به دست آمده است

علت به دست آوردن تنش محوری اضافی یکسان برای فشارهای محفوظه ای مختلف را می توان به صورت زیر تشریح کرد.

اگر نمونه رسی اشباع شماره ۱ تحت فشار محفظه ای σ_3 تحکیم یافته و سپس بدون اجازه زهکشی تا نقطه گسیختگی تحت فشار محوری قرار گیرد، شرایط تنش کل در لحظه گسیختگی می تواند توسط دایره مور P در شکل ۲۷-۸ نشان داده



شود. فشار حفره ای ایجاد شده در نمونه در لحظه گسیختگی مساوی $(\Delta u_d)_f$ می باشد. بنابراین تنشهای موثر اصلی حداکثر و حداقل در لحظه گسیختگی برابرند با:

$$\sigma'_1 = [\sigma_3 + (\Delta \sigma_d)_f] - (\Delta u_d)_f = \sigma_1 - (\Delta u_d)_f$$

$$\sigma'_1 = \sigma_3 - (\Delta u_d)_f$$

با استفاده از تنشهای موثر فوق، دایره مور Q در شکل ۲۷-۸ رسم می شود. توجه شود که قطرهای دوایر P و Q یکسان است.

حال نمونه دیگری از همان خاک رس (نمونه ۲) که تحت فشار محفظه ای σ_3 تحکیم یافته، در نظر گرفته می شود. اگر فشار محفظه ای بدون اجازه زهکشی به اندازه $\Delta \sigma_3$ افزایش یابد، فشار آب حفره ای به اندازه Δu_c افزایش می یابد. برای خاکهای اشباع تحت تنشهای ایزوتروپیک (همسانگرد)، افزایش فشار حفره ای مساوی افزایش تنش کل می باشد. بنابراین $\Delta u_c = \Delta \sigma_3$ است. در این لحظه فشار محفظه ای محدود کننده موثر برابر است با:

$$\sigma_3 + \Delta \sigma_3 - \Delta u_c = \sigma_3 + \Delta \sigma_3 - \Delta \sigma_3 = \sigma_3$$

مقدار فوق مساوی فشار محدود کننده موثر نمونه ۱ قبل از اعمال تنش انحرافی است. بنابراین اگر بدون اجازه زهکشی، نمونه ۲ تحت فشاری محوری قرار گیرد تا گسیخته شود، در همان تنش انحرافی $(\Delta \sigma_d)_f$ گسیخته خواهد شد که نمونه شماره (۱) گسیخته شده است. دایره مور تنش کل در لحظه گسیختگی، R خواهد شد (شکل ۲۷-۸).

در این حالت، افزایش فشار حفره ای به علت اعمال $(\Delta \sigma_d)_f$ مساوی $(\Delta u_d)_f$ خواهد شد.

در لحظه گسیختگی تنش موثر اصلی حداقل برابر است با:

$$[\sigma_3 + \Delta \sigma_3] - [\Delta u_c + (\Delta u_d)_f] = \sigma_3 - \Delta \sigma_3 - (\Delta \sigma_d)_f = \sigma'_3$$

و تنش موثر اصلی حداکثر برابر است با:

$$[\sigma_3 + \Delta \sigma_3 + (\Delta \sigma_d)_f] - [\Delta u_c + (\Delta u_d)_f] = [\sigma_3 + (\Delta \sigma_d)_f] - (\Delta u_d)_f = \sigma_1 - (\Delta u_d)_f = \sigma'_1$$

بنابراین دایره مور تنش موثر نظیر، همان Q خواهد بود. توجه شود که قطرهای دوایر P، Q و R یکی هستند.

بنابراین هر مقدار تنش اضافی محفظه ای $\Delta \sigma_3$ برای آزمایش نمونه شماره ۲ انتخاب شود، تنش انحرافی گسیختگی (Δσd)f یکسانی به دست می آید.

۶-۸ آزمایش فشاری محدود نشده برای رس اشباع

آزمایش فشاری محدود نشده یک نوع خاص آزمایش UU می باشد که معمولاً برای نمونه های رسی مورد استفاده قرار میگیرد. در این آزمایش، فشار محدود کننده σ_3 مساوی صفر است. بار محوری به سرعت به نمونه اعمال می شود تا گسیخته گردد. در لحظه گسیختگی، تنش اصلی حداقل کل مساوی صفر و تنش اصلی حداکثر کل مساوی c_u است که دایره مور نظیر آن مطابق شکل ۲۸-۸ می باشد. با توجه به این دایره مور می توان نوشت:

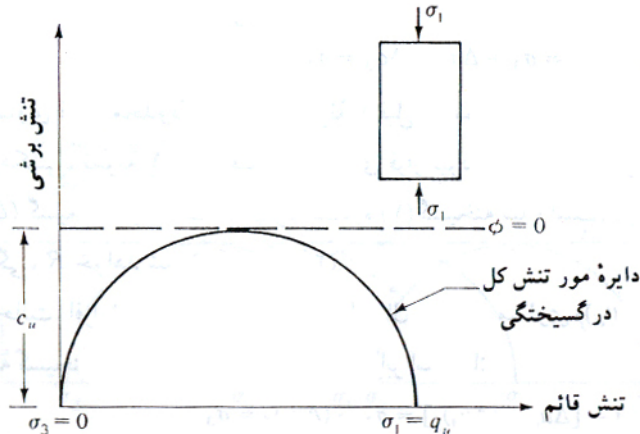
$$\tau_f = \frac{\sigma_1}{2} = \frac{q_u}{2} = c_u \quad (27-8)$$

q_u در رابطه فوق، مقاومت فشاری محدود نشده نامیده می شود . در جدول ۲-۸ سفتی تقریبی رسهای بر پایه مقاومت فشاری محدود نشده آنها ، ارائه و در شکل ۲۹-۸ نیز تصویری از دستگاه آزمایش فشاری محدود نشده نشان داده شده.

به طور نظری، نمونه های به دست آمده از یک خاک رس اشباع، در آزمایش فشاری محدود نشده و آزمایش سه محوری تحکیم نیافته زهکشی نشده، باید c_u یکسانی به دست دهنند. لیکن در عمل c_u به دست آمده از آزمایش فشاری محدود نشده برای خاک رس اشباع، قدری کوچکتر از مقدار به دست آمده از آزمایش سه محوری UU است. این حقیقت در شکل ۳۲-۸ نشان داده شده است.

جدول ۲-۸ ارتباط بین سفتی و مقاومت فشاری محدود نشده

سفتی	q_u kN/m ²	c_u kN/m ²
خیلی نرم	0-24	0-12
نرم	24-48	12-24
متوسط	48-96	24-48
soft	96-192	48-96
خیلی soft	192-383	96-190
سخت	>383	>190

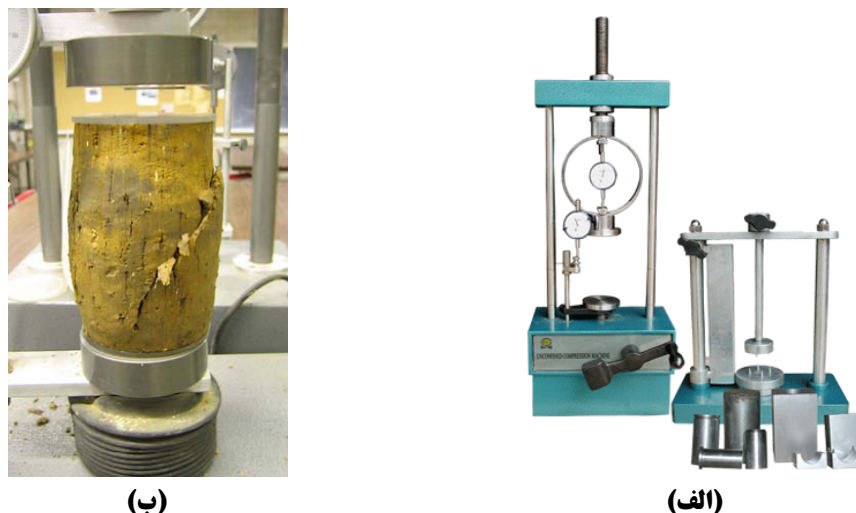


شکل ۲۸-۸ آزمایش فشاری محدود نشده

۷-۸ نکات عمومی در مورد آزمایش سه محوری

در تکمیل مباحث قبل ، بیان نکات زیر در مورد آزمایش سه محوری لازم به نظر می رسد:

- بر خلاف آزمایش برش مستقیم، صفحات گسیختگی برشی نمونه ها در آزمایشها سه محوری قابل پیش بینی نیست.
- با توجه به بحثهای انجام شده در مورد انواع آزمایشها سه محوری، روشن است که مقاومت برشی هر خاک بستگی به فشار آب حفره ای تولید شده در حین آزمایش دارد. با زهکشی نمونه، فشار آب حفره ای از بین می رود. در نتیجه مقاومت برشی خاک در محل، بستگی به سرعت بارگذاری و زهکشی آن دارد.



شکل ۸-۲۹ (الف) دستگاه آزمایش فشاری محدود نشده (ب) نمونه پس از گسیختگی

برای شرایط در محل، در صورتی که سرعت بارگذاری متوسط باشد، در خاکهای دانه‌ای احتمالاً زهکشی کامل به وقوع می‌پیوندد. در چنین شرایطی، پارامترهای برشی به دست آمده از آزمایش زهکشی شده حاکم بوده و باید مورد استفاده قرار گیرند. در مقابل برای رسهای عادی تحکیم یافته ($k = 10^{-6} \text{ cm/sec}$)، زمان لازم برای زایل شدن اضافه فشار حفره‌ای تولید شده به علت احداث شالوده ممکن است خیلی طولانی بوده و در حین احداث و بلافصله بعد از اتمام ساختمان، شرایط زهکشی نشده وجود داشته باشد. بنابراین اگر منظور مطالعه پایداری کوتاه مدت خاک باشد، استفاده از نتایج آزمایش زهکشی نشده ($\phi = 0$) منطقی خواهد بود. لیکن پس از گذشت مدت کافی از اتمام ساختمان، زهکشی خاک کامل شده و برای بررسی پایداری درازمدت خاک، استفاده از پارامترهای زهکشی شده منطقی خواهد بود. بنابراین نتیجه می‌شود که در خاکهای رسی اشباع، بررسی پایداری در دو حالت زهکشی نشده و زهکشی شده هر کدام با استفاده از پارامترهای برشی مربوطه لازم می‌باشد.

۳- در مقایسه با آزمایش برش مستقیم، انجام آزمایش سه محوری مشکلتر بوده و به هزینه بالاتری نیاز دارد.

مثال :

برای یک خاک رس عادی تحکیم یافته، نتایج آزمایش سه محوری زهکشی شده به شرح زیر می‌باشد:

فشار محفظه‌ای $= 140 \text{ کیلونیوتن بر متر مربع}$

تنش انحرافی در لحظه گسیختگی $= 263/5 \text{ کیلونیوتن بر متر مربع}$

مطلوب است تعیین زاویه اصطکاک داخلی ϕ

خاک رسی عادی تحکیم یافته $\leftarrow c = 0$

$$\sigma_3 = 140 \text{ kN/m}^2$$

$$(\Delta\sigma_d)_f = 263.5 \text{ kN/m}^2 \rightarrow \sigma_1 = 140 + 263.5 \text{ kN/m}^2$$

$$\sigma_1 = \sigma_3 \tan^2(45 + \frac{\phi}{2}) \rightarrow 403.5 = 140 \tan^2(45 + \frac{\phi'}{2}) \rightarrow \phi' = 29^\circ$$


مثال :

نتایج دو آزمایش سه محوری زهکشی شده بر روی یک رس اشباع به شرح زیر است:

نمونه ۱	$\sigma_3 = 69 \text{ kN/m}^2$
	$\sigma_1 = 96 + 213 = 282 \text{ kN/m}^2$
نمونه ۲	$\sigma_3 = 120 \text{ kN/m}^2$
	$\sigma_1 = 120 + 258.7 = 378.7 \text{ kN/m}^2$

مطلوب است محاسبه پارامترهای مقاومت برشی خاک.

$$\begin{cases} \text{نمونه ۱} & \left\{ \begin{array}{l} \sigma_3 = 69 \text{ kN/m}^2 \\ \sigma_1 = 96 + 213 = 282 \text{ kN/m}^2 \end{array} \right. \\ \text{نمونه ۲} & \left\{ \begin{array}{l} \sigma_3 = 120 \text{ kN/m}^2 \\ \sigma_1 = 120 + 258.7 = 378.7 \text{ kN/m}^2 \end{array} \right. \end{cases}$$

$$\begin{cases} 282 = 69 \tan^2(45 + \frac{\Phi}{2}) + 2c \tan(45 + \frac{\Phi}{2}) \\ 378.7 = 120 \tan^2(45 + \frac{\Phi}{2}) + 2c \tan(45 + \frac{\Phi}{2}) \end{cases}$$

$$378.7 - 282 = (120 - 69) \tan^2(45 + \frac{\Phi}{2}) \rightarrow \tan^2(45 + \frac{\Phi}{2}) = \frac{96.7}{51} \rightarrow \Phi' = 18^\circ$$

$$282 = 69 \tan^2(45 + \frac{18}{2}) + 2c \tan(45 + \frac{18}{2}) \rightarrow 151.28 = 2c \tan(45 + \frac{18}{2}) \rightarrow c' = 54.956 \text{ kN/m}^2$$


مثال :

اگر نمونه رس شرح داده شده در مسئله قبل در یک دستگاه آزمایش سه محوری با فشار محفظه ای 200 kN/m^2 مورد آزمایش قرار گیرد، تنش اصلی حداکثر در لحظه گسیختگی چقدر خواهد بود. در حین آزمایش شرایط زهکشی کامل وجود دارد.

$$\sigma_3 = 200 \text{ kN/m}^2$$

$$\sigma_1 = \sigma_3 \tan^2(45 + \frac{\Phi}{2}) + 2c \tan(45 + \frac{\Phi}{2}) = 200 \tan^2(45 + \frac{28}{2}) + 2 \times 54.956 \tan(45 + \frac{28}{2}) = 529 \text{ kN/m}^2$$


مثال :

یک خاک ماسه ای دارای زاویه اصطکاک زهکشی شده 35° درجه است. اگر در یک آزمایش سه محوری زهکشی شده روی آن خاک، تنش انحرافی در هنگام گسیختگی 263 کیلونیوتون بر متر مربع باشد، فشار محفظه ای چقدر خواهد بود.

$$c' = 0, \Phi' = 35^\circ, (\Delta\sigma_d)_f = 263 \text{ kN/m}^2$$

$$\sigma_3 + 263 = \sigma_3 \tan^2(45 + \frac{35}{2}) \rightarrow 263 = 3.69\sigma_3 - \sigma_3 = 2.69\sigma_3 \rightarrow \sigma_3 = \frac{263}{2.69} = 71.27 \text{ kN/m}^2$$


مثال :

یک آزمایش سه محوری زهکشی شده بر روی خاک رس عادی تحکیم یافته نشان داد که صفحه گسیختگی زاویه 55° درجه با افق می سازد. اگر نمونه تحت فشار محفظه ای $103/5$ کیلونیوتون بر متر مربع مورد آزمایش قرار گرفته باشد، تنش انحرافی در لحظه گسیختگی چقدر خواهد بود.

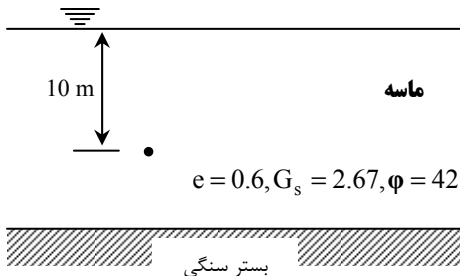
$$c' = 0, \Phi = 55^\circ$$

$$\theta = 45 + \frac{\phi'}{2} \rightarrow 55 = 45 + \frac{\phi'}{2} \rightarrow \phi' = 20^\circ$$

$$\sigma_1 = 103.5 \tan^2(45 + \frac{20}{2}) = 212 \text{ kN/m}^2 \rightarrow (\Delta\sigma_d)_f = \sigma_1 - \sigma_3 = 212 - 103.5 = 108.5 \text{ kN/m}^2$$

 مثال:

در شکل زیر، یک نهشتۀ ماسه ای نشان داده شده است. مطلوب است تعیین مقاومت برشی در صفحه افقی که در عمق ۱۰ متر زیر سطح زمین قرار دارد.



$$\tau_f = (\sigma - u) \tan \phi = \sigma' \tan \phi = \gamma' z \tan \phi$$

$$\gamma' = \gamma - \gamma_w = \frac{G_s + e}{1+e} \gamma_w - \gamma_w = \frac{G_s - 1}{1+e} \gamma_w$$

$$\tau_f = 10.239 \times 10 \tan 42^\circ = 92.19 \text{ kN/m}^2$$

 مثال:

از یک آزمایش تحقیم یافته زهکشی نشده بر روی یک خاک رس عادی تحقیم یافته، نتایج زیر به دست آمده است:

$$\sigma_3 = 84 \text{ kN/m}^2$$

$$(\Delta\sigma_d)_f = 64 \text{ kN/m}^2 \quad (= \text{تنش انحرافی در لحظه گسیختگی})$$

$$(\Delta\sigma_d)_f = 48 \text{ kN/m}^2 \quad (= \text{فشار حفره ای})$$

مطلوب است محاسبه زاویه اصطکاک تحقیم یافته زهکشی نشده و زاویه اصطکاک زهکشی شده.

$$\sigma_1 = \sigma_3 + (\Delta\sigma_d)_f = 84 + 64 = 148 \text{ kN/m}^2$$

$$c = 0 \rightarrow \sigma_1 = \sigma_3 \tan^2(45 + \frac{\phi_{cu}}{2}) \rightarrow 148 = 84 \tan^2(45 + \frac{\phi_{cu}}{2}) \rightarrow \phi_{cu} = 16^\circ$$

$$\begin{cases} \sigma'_3 = \sigma_3 - (\Delta u_d)_f = 84 - 48 = 36 \text{ kN/m}^2 \\ \sigma'_1 = \sigma_1 - (\Delta u_d)_f = 148 - 48 = 100 \text{ kN/m}^2 \end{cases}$$

$$100 = 36 \tan^2(45 + \frac{\phi'}{2}) \rightarrow \phi' = 28^\circ$$



مسائل:

۱. مقاومت برشی یک روس عادی تحکیم یافته طبق رابطه $\sigma' = \tau \tan 31^\circ$ تعریف می شود. یک آزمایش تحکیم یافته زهکشی نشده بر روی این خاک رسی انجام شد که نتایج آن به شرح زیر است:

$$\text{فشار محفظه ای} = 112 \text{ kN/m}^2$$

$$\text{تنش انحرافی در لحظه گسیختگی} = 100.14 \text{ kN/m}^2$$

مطلوب است تعیین:

(الف) زاویه اصطکاک تحکیم یافته زهکشی نشده (Φ_{cu})

(ب) فشار آب حفره ای در نمونه در لحظه گسیختگی

۲. برای نمونه رسی تشریح شده، مسئله ۱، مقدار تنش انحرافی در لحظه گسیختگی با فشار محفظه ای $\sigma_3 = 112 \text{ kN/m}^2$ در صورتی که آزمایش به صورت زهکشی شده انجام شود چقدر است.

۳. زاویه اصطکاک تحکیم یافته زهکشی نشده یک ماسه لای دار، ۲۲ درجه و زاویه اصطکاک زهکشی شده آن ۳۲ درجه (c=0) می باشد. اگر یک آزمایش تحکیم یافته زهکشی نشده بر روی چنین خاکی با فشار محفظه ۹۰ کیلونیوتون بر متر مربع انجام شود، تنش اصلی حداکثر کل در لحظه گسیختگی چقدر خواهد شد. همچنین فشار حفره ای تولید شده در لحظه گسیختگی را محاسبه نمایید.

۴. نتایج زیر مربوط به آزمایش سه محوری تحکیم یافته زهکشی نشده بر روی رس می باشند مطلوب است رسم دایره مور تنش کل و تعیین پارامترهای مقاومت برشی برای شرایط تحکیم یافته زهکشی نشده.

شماره نمونه	σ_3	σ_1 در لحظه گسیختگی
1	191.67	375.67
2	383.34	636.33

۵. نتایج یک آزمایش تحکیم نیافته زهکشی نشده بر روی یک نمونه خاک رس اشباع به قرار زیر است:

$$\sigma_3 = 97.74 \text{ kN/m}^2$$

$$\sigma_1 = 190.59 \text{ kN/m}^2$$

- تنش محوری در لحظه گسیختگی در صورتی که نمونه ای مشابه تحت آزمایش فشار محدود نشده قرار گیرد، چقدر خواهد بود.

۶. زاویه اصطکاک Φ یک نمونه رس عادی تحکیم یافته که از آزمایش سه محوری زهکشی شده به دست آمده، مساوی ۱۵ درجه است. مقاومت فشاری محدود نشده ۹۰ کیلونیوتون بر متر مربع است. مطلوب است تعیین فشار آب حفره ای در لحظه گسیختگی برای آزمایش فشاری محدود نشده.

مراجع

۱. اصول مهندسی ژئوتکنیک، جلد اول: مکانیک خاک، ترجمه شاپور طاحونی، چاپ هفتم، ۱۳۸۰، ویرایش دوم.
۲. مجموعه سوالات طبقه‌بندی شده آزمون کارشناسی ارشد مکانیک خاک، تالیف: سasan Amir Afshari، چاپ سوم ۱۳۸۲.

نکات و یادداشت ها

